

МОСКОВСКИЙ ФИЗИКО-ТЕХНИЧЕСКИЙ ИНСТИТУТ

КАФЕДРА ПРОБЛЕМ ТЕОРЕТИЧЕСКОЙ ФИЗИКИ

**Свойства состояний, локализованных в коре вихря в сильно
неупорядоченном сверхпроводнике**

(Дипломная работа бакалавра)

Выполнил: Даниил Карузин Константинович

Научный руководитель: Михаил Андреевич Скворцов

г. Долгопрудный

2024

Аннотация

В работе изучается средняя плотность состояний $\langle\rho(E)\rangle$ в коре вихря в грязной сверхпроводящей пленке. В квазиклассическом приближении на энергиях много меньших объемной щели ее можно считать константой. Отталкивание уровня от своего изображения приводит к модуляции $\langle\rho(E)\rangle$ на масштабе порядка среднего расстояния между уровнями. В главном порядке статистика уровней описывается теорией случайных матриц симметричного класса C . В работе исследуются поправки к этому ответу по величине $1/g$, где g — безразмерный кондактанс пленки. Для описания системы используется метод суперсимметричной сигма модели. Нулевая мода, отвечающая за симметрию класса C , учитывается точно, а массивные флуктуации — пертурбативно. Вычислены все однопетлевые поправки к средней плотности состояний. Показано, что они приводят к перенормировке среднего расстояния между уровнями, оставляя неизменной функциональную форму нульмерного ответа.

Содержание

1	Введение	5
2	Постановка задачи	6
2.1	Уравнение Узаделя	6
2.2	Суперсимметричная сигма модель	7
2.3	Седловое решение	8
3	Низкие энергии	9
3.1	Решение уравнения Узаделя на нулевой энергии	9
3.2	Нулевое многообразие	11
3.3	Средняя плотность состояний в нульмерном пределе	12
4	Диффузные моды	14
4.1	Структура W	14
4.2	Гауссово действие	15
4.3	Правила слияния	17
4.3.1	Вычисление $\langle \text{str} [PW(\mathbf{r})] \text{str} [RW(\mathbf{r}')] \rangle$	17
4.3.2	Вычисление $\langle \text{str} [PW(\mathbf{r})RW(\mathbf{r}')] \rangle$	19
4.3.3	Вычисление $\langle \text{str} [PW^2(\mathbf{r})] \rangle$	20
5	Вычисление поправок к плотности состояний	22
5.1	Вклад от разложения предэкспоненты до W^2	23
5.2	Вклад от разложения S_E до W^2	24
5.3	Вклад от W в предэкспоненте и в разложении S_E	25
5.4	Поправка от дважды разложенного S_E	27
5.5	Поправка слабой локализации в предэкспоненте	28
5.6	Поправка слабой локализации в действии S_E	33
6	Перенормировка ω_0	34
7	Заключение	35
	Список литературы	36

А Вычисление C_0	37
В Структура обратных операторов A_{ac}^{-1} и A_{ad}^{-1} . Вычисление C_2	39

1 Введение

Как известно, наличие щели в сверхпроводнике затрудняет процессы диссипации энергии при низких температурах. В сверхпроводник II рода магнитное поле проникает в виде металлических нитей — вихрей размером порядка длины когерентности сверхпроводника ξ . В коре вихря есть уровни энергии, простирающиеся от энергии Ферми вплоть до объемной щели сверхпроводника Δ . Наличие таких уровней существенно упрощает возможность диссипации за счет переходов между этими уровнями, что проявляется в конечном сопротивлении при движении вихрей.

Задача о структуре таких локализованных состояний в чистом сверхпроводнике II рода была рассмотрена Кароли, де Женем и Матриконом [3]. Ими было получено, что в двумерном случае низколежащие состояния расположены на одинаковых расстояниях $\omega_0 \sim \Delta^2/E_F$, так что в в коре есть много ($N \sim E_F/\Delta_0$) уровней. Спектр дается выражением $E = \mu\omega_0$, где $\mu = 1/2 + n$ — полуцелый угловой момент квазичастицы.

Введение беспорядка перемешивает уровни энергии, но средняя плотность состояний не становится константой в силу особой зеркальной симметрии уравнений Боголюбова-де Жена. Поведение плотности состояний зависит от времени упругого рассеяния на примесях τ . В умеренно чистом случае ($\omega_0 \ll 1/\tau \ll \Delta_0$) ответ чувствителен к типу рассеивателей [5]. В случае грязного сверхпроводника ($\Delta_0\tau \ll 1$) на малых энергиях реализуется универсальный предел случайных матриц класса C [1] (симметрия по обращению времени нарушена, а спиновая присутствует), в котором средняя глобальная плотность состояний дается выражением

$$\langle \rho_C(E) \rangle = \frac{1}{\omega_0} \left(1 - \frac{\sin 2\pi E/\omega_0}{2\pi E/\omega_0} \right), \quad (1)$$

где ω_0 — среднее расстояние между уровнями энергии, которое в грязном случае отличается от найденного в работе [3] (см. уравнение (26) ниже).

Поправки к универсальному нульмерному пределу (1) малы по обратному кондактансу g и содержат специфическую информацию об эргодизации в системе, определяемой высшими диффузными модами [6].

2 Постановка задачи

В работе рассматривается тонкая пленка неупорядоченного сверхпроводника 2 рода. Целью является вычисление средней плотности состояний, локализованных в коре вихря.

2.1 Уравнение Узаделя

Стандартным подходом к вычислению плотности состояний в грязном случае является использование уравнения Узаделя. При наличии вихря уравнение Узаделя в калибровке ,где параметр порядка Δ действителен действителен, записывается как [7]

$$D\nabla^2\theta = 4D\frac{e^2 A^2(r)}{\hbar^2 c^2} \sin\theta \cos\theta - 2\Delta(r) \cos\theta - 2iE \sin\theta, \quad (2)$$

где D - коэффициент диффузии, $A(r)$ - векторный потенциал вихря, E - энергия. Спектральный угол определяется из соотношения между нормальной и аномальной функцией Грина: $F^2 + G^2 = 1$, посредством подстановки

$$F = \sin\theta \quad G = \cos\theta. \quad (3)$$

Спектральный угол связан с запаздывающей функцией Грина соотношением

$$\cos\theta = \frac{i}{\nu\pi} G^R(\mathbf{r}, \mathbf{r}). \quad (4)$$

Поэтому локальная плотность состояний будет даваться формулой

$$\rho_E(\mathbf{r}) = 2\nu \operatorname{Re} \cos\theta(\mathbf{r}), \quad (5)$$

где ν - плотность состояний на одну проекцию спина на энергии Ферми.

Главным пространственным масштабом является нуль-температурная длина когерентности грязного сверхпроводника:

$$\xi^2 = \frac{D}{2\Delta_0}. \quad (6)$$

В нашей задаче длина лондоновского проникновения сильно больше длины когерентности ($\lambda \gg \xi$). Это связано как с грязью, так и с пирловским увеличением в двумерной пленке. В калибровке, где параметр порядка Δ действителен, градиент фазы связан с векторным потенциалом вихря посредством следующей формулы

$$\nabla\phi = -2(eA/\hbar c)\mathbf{e}_\varphi. \quad (7)$$

. Как известно этот потенциал равен $A = -(\hbar c/2e\lambda)K_1(r/\lambda)$. Здесь K_1 - модифицированная функция Бесселя 2 рода. В рассматриваемом нами пределе $\lambda/\xi \gg 1$ векторный потенциал становится просто $\sim 1/r$. Тем самым можно написать:

$$\nabla\phi = \frac{1}{r}\mathbf{e}_\varphi. \quad (8)$$

Следуя работе [7], для профиля параметра порядка мы будем использовать анзац

$$\frac{\Delta(r/\xi)}{\Delta_0} = \frac{r/\xi}{\sqrt{(r/\xi)^2 + \pi/2}}. \quad (9)$$

Таким образом Уравнение Узаделя переписывается как:

$$D\nabla^2\theta = \frac{D}{r^2}\sin\theta\cos\theta - 2\Delta(r)\cos\theta - 2iE\sin\theta. \quad (10)$$

Уравнение Узаделя описывает систему в квазиклассическом приближении, которое не различает индивидуальные уровни энергии. Корреляции в положении уровней энергии, возникающей за счет квантовых интерференционных эффектов, можно заметить, если использовать формализм нелинейной сигма модели [4].

2.2 Суперсимметричная сигма модель

В соответствии с [2], теория поля для неупорядоченного сверхпроводника, учитывающая зеркальную симметрию уравнения Боголюбова–де Жена, определяется действием

$$S = -\frac{\pi\nu}{8} \int d\mathbf{r} \text{str}[D(\nabla Q)^2 - 4(\hat{\Delta} + iE\tau_3\Sigma_3)Q], \quad (11)$$

где D - коэффициент диффузии, ν - плотность состояний на одну проекцию спина, E - энергия. Суперматрица 8×8 Q действует в пространстве 2×2 Намбу (N), пространстве 2×2 зарядового сопряжения (CC, 'charge conjugation') и 2×2 суперпространстве (BF, Бозе-Ферми). Пространство Намбу параметризуется матрицами Паули τ_i . Пространство зарядового сопряжения параметризуется матрицами Паули Σ_i . Матрица $\hat{\Delta}$ определяется как, $\Delta\tau_+ + \Delta^*\tau_-$.

Искомой величиной является средняя глобальная плотность состояний как функция энергии:

$$\rho = \frac{\nu}{4} \text{Re} \int d\mathbf{r} \int \text{str}(\tau_3\Sigma_3 kQ) e^{-S} DQ, \quad (12)$$

где

$$k = \text{diag}(1, -1)_{\text{BF}}. \quad (13)$$

На матрицы Q наложены следующие симметричные условия: [2]

$$Q^2 = 1, \quad (14)$$

$$Q = \overline{Q}, \quad (15)$$

где операция зарядового сопряжения определена согласно

$$Q \equiv \tau_1 \gamma Q^T \gamma^T \tau_1, \quad (16)$$

с матрицей

$$\gamma = \begin{pmatrix} \Sigma_1 & 0 \\ 0 & -i\Sigma_2 \end{pmatrix}_{\text{BF}} = \begin{pmatrix} 0 & k \\ 1 & 0 \end{pmatrix}_{\text{CC}}. \quad (17)$$

2.3 Седловое решение

Варьируя действие (11) с учетом ограничения $Q^2 = 1$, можно получить седловое уравнение:

$$D\nabla(Q\nabla Q) + [Q, (iE\Sigma_3 + \hat{\Delta})\tau_3] = 0. \quad (18)$$

Симметричное соотношение $Q^2 = 1$ позволяет записать единичную в BF пространстве Q матрицу в следующей параметризации:

$$Q_{\text{Us}} = \begin{pmatrix} \cos \check{\theta} & e^{i\varphi} \sin \check{\theta} \\ e^{-i\varphi} \sin \check{\theta} & -\cos \check{\theta} \end{pmatrix}_{\text{N}} \otimes \mathbb{1}_{\text{BF}}, \quad (19)$$

где $\check{\theta} = \text{diag}(\theta^{\text{R}}, \theta^{\text{A}})$ — диагональная матрица в пространстве CC, φ — фаза. Подстановка этой параметризации в уравнение (18) позволяет написать уравнение на спектральные углы θ («+» для R, «-» для A):

$$-D\nabla^2\theta + D(\nabla\phi)^2 \sin\theta \cos\theta \pm 2iE \sin\theta - 2\Delta \cos\theta = 0. \quad (20)$$

Уравнение для θ^{R} совпадает с приведенным в главе 2.1 уравнением Узаделя. Как обычно, спектральные углы связаны друг с другом посредством соотношения

$$\theta^{\text{R}} + \theta^{\text{A}} = \pi. \quad (21)$$

Поэтому седловое решение можно написать в виде

$$Q_{\text{Us}} = \cos\theta^{\text{R}} \tau_3 \Sigma_3 + \sin\theta^{\text{R}} \begin{pmatrix} 0 & e^{i\varphi} \\ e^{-i\varphi} & 0 \end{pmatrix}_{\text{N}}. \quad (22)$$

3 Низкие энергии

3.1 Решение уравнения Узаделя на нулевой энергии

В дальнейшем мы будем интересоваться энергиями малыми по сравнению с величиной щели сверхпроводника далеко от вихря, Δ_0 , поэтому нам понадобится знать поведение спектрального угла $\theta^R(r)$ на нулевой энергии.

Уравнение Узаделя в этом случае записывается как

$$-D\nabla^2\theta^R + D(\nabla\phi)^2 \sin\theta^R \cos\theta^R - 2\Delta(r) \cos\theta^R = 0. \quad (23)$$

Обезразмеривая его посредством замены $R = r/\xi$, где ξ — длина локализации, можно переписать это уравнение в виде:

$$-\nabla_R^2\theta^R + \frac{1}{R^2} \sin\theta^R \cos\theta^R - \frac{\Delta(R)}{\Delta_0} \cos\theta^R = 0. \quad (24)$$

Численное решение уравнения (24) показано на Рис. 1. Оно подходит к нулю линейно, чтобы скомпенсировать сингулярность, содержащуюся в члене $1/R^2$. Данная зависимость была получена в работах [7, 2].

Стоит заметить, что спектральный угол $\theta^R(r)$ и $\nabla\phi$ зависят только от расстояния до центра

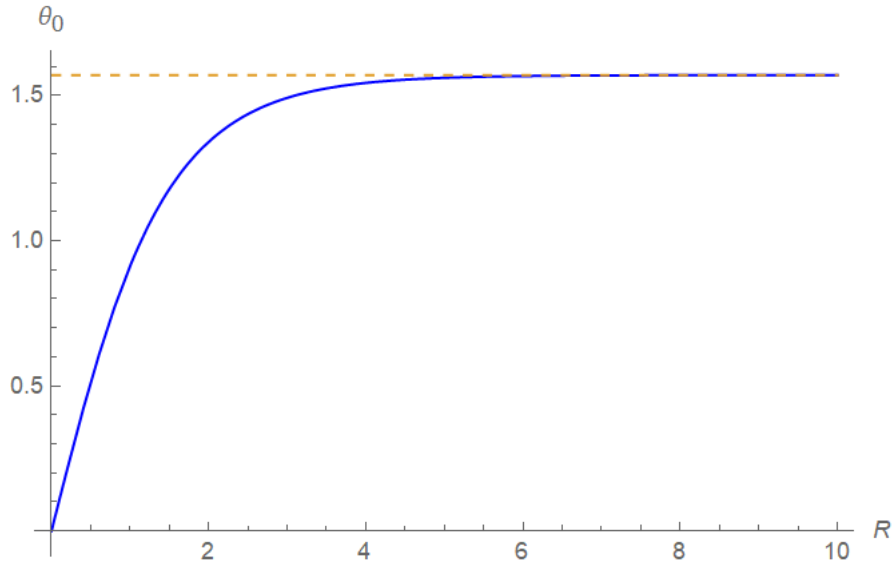


Рис. 1: Зависимость спектрального угла $\theta^R(R)$ на нулевой энергии от расстояния до центра вихря, $R = r/\xi$.

вихря, в связи с чем есть соотношения

$$\nabla\theta^R\nabla\phi = 0 \quad \nabla^2\phi = 0. \quad (25)$$

Локальная плотность состояний дается выражением $\rho_E(r) = 2\nu d \cos\theta_E^R(r)$, где d — толщина пленки. Интегральная плотность состояний на нулевой энергии определяет среднее расстояние между уровнями

$$\omega_0 = \langle\rho(E=0)\rangle^{-1} = \frac{1}{2C_1\nu d\xi^2}, \quad (26)$$

где безразмерный коэффициент

$$C_1 = \int d\mathbf{R} \cos\theta^R(R) \approx 9.8968. \quad (27)$$

Физически уравнение (26) означает, что кор вихря можно считать областью нормального металла порядка ξ . При этом стоит обратить внимание на большой численный коэффициент $2C_1 \approx 20$ в знаменателе.

Относительная поправка к плотности состояний при конечных энергиях ведет себя как $(E/\Delta_0)^2$ [2]. Поэтому при оценке числа состояний в коре вихря с положительной энергией можно использовать расстояние между уровнями при $E = 0$, что дает

$$N \approx \frac{\Delta_0}{\omega_0} = C_1\nu Dd, \quad (28)$$

где мы использовали соотношение (6). Вспоминая формулу Друде для проводимости: $\sigma = (e^2/\hbar)2\nu D$, где 2ν — полная плотность состояний на уровне Ферми с учетом обеих проекций спина, и определяя безразмерный кондактанс пленки g как

$$g = \frac{\sigma d}{e^2/\hbar}, \quad (29)$$

получаем оценку на число состояний:

$$N \approx \frac{C_1}{2}g \approx \frac{20 k\Omega}{R_\square}, \quad (30)$$

где R_\square — сопротивление пленки на квадрат.

Отметим, что на границе грязного предела, при $\Delta\tau \sim 1$, и при атомной толщине пленки ($d \sim \lambda_F$) расстояние между уровнями, определенное по формуле (30), совпадает с $\omega_0 \sim \Delta^2/E_F$, найденным в работе [3] для чистого двумерного случая.

3.2 Нулевое многообразие

При $E = 0$ существует целое седловое многообразие, на котором действие остается равным нулю. Возникновение такого многообразия связано с зеркальной симметрией уравнения Боголюбова–де Жена относительно энергии Ферми и было предсказано в работе Алтланда и Цирнбауэра [1]. В рассматриваемом случае речь идет о симметричном классе C .

Зададим матрицу вращений T пропорциональную $\mathbb{1}_N$ и постоянную в пространстве. Тогда вращение седлового решения (22) с помощью этой матрицы запишется как

$$Q_{\text{zero}} = T^{-1}Q_{\text{Us}}T = \cos \theta_0^{\text{R}} \tau_3 Q + \sin \theta_0^{\text{R}} \begin{pmatrix} 0 & e^{i\varphi} \\ e^{-i\varphi} & 0 \end{pmatrix}_{\text{N}}, \quad (31)$$

где Q — постоянная в пространстве («нульмерная») матрица

$$Q = T^{-1}\Sigma_3 T. \quad (32)$$

При нулевой энергии действие (11) инвариантно под действием преобразования $Q_{\text{Us}} \mapsto Q_{\text{zero}}$ для любой матрицы T , симметрия которой согласована с условием (15) для матрицы Q .

При конечной энергии возникает действие, снимающее вырождение седлового многообразия:

$$S_E[Q_{\text{zero}}] = \pi \nu i E \text{str}_4(\Sigma_3 Q) \int d\mathbf{r} \cos \theta_0^{\text{R}} = \frac{i\pi E}{2\omega_0} \text{str}_4(\Sigma_3 Q). \quad (33)$$

где мы использовали выражение (26) для ω_0 .

Симметрия для $T = t \otimes \mathbb{1}_N$ может быть записана как

$$t = \gamma(t^{-1})^T \gamma^T. \quad (34)$$

Используя эти симметричные соотношения можно написать соотношения для Q :

$$Q = -\gamma Q^T \gamma^T. \quad (35)$$

Симметрия накладывает условия на элементы матрицы Q . Для этой матрицы можно ввести параметризацию Ефетова:

$$Q = U_\eta Q_0 U_\eta^{-1}, \quad (36)$$

где центральный блок Q_0 содержит только коммутирующие переменные $\theta \in [0, \pi]$ и $\phi \in [0, 2\pi]$ и геометрически представляет собой сферу S^2 в фермион-фермионном секторе (бозон-бозонный

сектор тривиален):

$$\mathcal{Q}_0 = \begin{pmatrix} 1 & 0 & 0 & 0 \\ 0 & \cos \theta & 0 & -ie^{-i\phi} \sin \theta \\ 0 & 0 & -1 & 0 \\ 0 & ie^{i\phi} \sin \theta & 0 & -\cos \theta \end{pmatrix}_{\text{CC}} = \begin{pmatrix} 1 & 0 & 0 & 0 \\ 0 & -1 & 0 & 0 \\ 0 & 0 & \cos \theta & -ie^{-i\phi} \sin \theta \\ 0 & 0 & ie^{i\phi} \sin \theta & -\cos \theta \end{pmatrix}_{\text{BF}}, \quad (37)$$

а грассманы переменные η и ζ содержатся в матрице U_η :

$$U_\eta = \begin{pmatrix} v & 0 \\ 0 & u \end{pmatrix}_{\text{CC}}, \quad u = \exp \begin{pmatrix} 0 & \zeta \\ \eta & 0 \end{pmatrix}_{\text{BF}}, \quad v = \exp \begin{pmatrix} 0 & \eta \\ -\zeta & 0 \end{pmatrix}_{\text{BF}}. \quad (38)$$

Интегрирование $\int D\mathcal{Q}$ ведется по этому многообразию (сфере) и по грассмановым переменным с инвариантной мерой [8]

$$D\mathcal{Q} = \frac{d\phi}{2\pi} \frac{\sin \theta d\theta}{2(1 - \cos \theta)} d\zeta d\eta. \quad (39)$$

3.3 Средняя плотность состояний в нульмерном пределе

Рассмотрим, как выглядит средняя плотность состояний в нульмерном пределе, когда функциональный интеграл в уравнении (12) ограничивается непертурбативным интегрированием по нулевому многообразию:

$$\langle \rho(E) \rangle = \frac{\nu}{4} \int d\mathbf{r} \int D\mathcal{Q} \text{str}(\tau_3 \Sigma_3 k Q_{zero}) e^{-S_E[Q_{zero}]}. \quad (40)$$

Вычислим суперследы, стоящие в (40), используя выражение для $S_E(Q_{zero})$ (33):

$$\text{str}_8[\tau_3 \Sigma_3 Q_{zero}] = 2 \text{str}_4[\Sigma_3 \mathcal{Q}] \cos \theta^R(\mathbf{r}) = 4(1 - \cos \theta) \cos \theta^R(\mathbf{r}) \quad (41)$$

$$\text{str}_8[\tau_3 \Sigma_3 k Q_{zero}] = 2 \text{str}_4[\Sigma_3 k \mathcal{Q}] \cos \theta^R(\mathbf{r}) = 4[1 + \cos \theta + 2\zeta\eta(1 - \cos \theta)] \cos \theta^R(\mathbf{r}) \quad (42)$$

Интеграл от $\cos \theta^R(\mathbf{r})$ вычисляется с помощью (27) и затем выражается через среднее расстояние между уровнями ω_0 по формуле (26). Результат для плотности состояний:

$$\langle \rho(E) \rangle = \frac{1}{2\omega_0} \text{Re} \int_0^\pi \frac{\sin \theta d\theta}{2(1 - \cos \theta)} \int d\zeta d\eta [1 + \cos \theta + 2\zeta\eta(1 - \cos \theta)] \exp\left(-i\pi \frac{E}{\omega_0} (1 - \cos \theta)\right). \quad (43)$$

Этот интеграл имеет сингулярность при $\cos \theta = 1$. Поэтому член с $1 + \cos \theta$ интегрируется в бесконечность. С другой стороны это вклад в интеграл не содержит грассманов, поэтому должен интегрироваться в 0. Возникающую сингулярность в мере можно устранить дифференцированием по E . Таким образом, этот член должен просто давать константу, не зависящую от энергии, которая

отождествляется с $\langle \rho(\infty) \rangle = 1/\omega_0$. Интегрируя второй член, который не содержит сингулярность, можно получить известный результат для средней плотности состояний в классе C случайных матриц:

$$\langle \rho_C(E) \rangle = \frac{1}{\omega_0} \left(1 - \frac{\sin(2\pi E/\omega_0)}{2\pi E/\omega_0} \right). \quad (44)$$

При энергиях $E \gg \omega_0$ эта формула вырождается просто в $1/\omega_0$, что совпадает с формулой (26).

4 Диффузные моды

4.1 Структура W

Мы хотим изучать малые отклонения от Q_{zero} , которые параметризуем с помощью матрицы W , введенной согласно

$$Q = T^{-1}U^{-1}\tau_1(1 + W + W^2/2 + \dots)UT, \quad (45)$$

где $U^{-1}\tau_1U = U_{Us}$ с матрицей

$$U = \text{diag}(U_\theta, U_{\pi-\theta})_{CC}, \quad U_\theta = e^{-i\tau_2(\pi/4-\theta^R/2)}e^{-i\tau_3(\phi/2)}. \quad (46)$$

Матрица T порождает нулевую моду, которую мы будем учитывать непертурбативно. Важно отметить, что в W содержатся всевозможные отклонения от седлового решения. Среди этих отклонений не нужно учитывать те, что связаны с «движением» по седловому многообразию, т.к. это учитывается с помощью матрицы T .

Симметричные условия (15) накладывают следующие ограничения на W

$$\{W, \tau_1\}_+ = 0 \quad W = -\overline{W}. \quad (47)$$

В связи с этими условиями пишем W как

$$W = \tau_2c + \tau_3d, \quad (48)$$

где c и d суперматрицы в $CC \otimes BF$ с симметриями

$$c = -\gamma c^T \gamma^T, \quad d = \gamma d^T \gamma^T. \quad (49)$$

Для дальнейших вычислений удобно разделить c и d на симметричные и антисимметричные вклады:

$$c = c_a + c_s, \quad d = d_a + d_s; \quad (50)$$

$$\{\Sigma_3, c_a\}_+ = \{\Sigma_3, d_a\}_+ = 0, \quad (51)$$

$$[\Sigma_3, c_s]_- = [\Sigma_3, d_s]_- = 0. \quad (52)$$

Используя (49), можно записать c и d в явном виде.

1. Симметричная часть

$$d_s = \begin{pmatrix} d_{11} & 0 \\ 0 & d_{22} \end{pmatrix}_{\text{CC}}, \quad c_s = \begin{pmatrix} c_{11} & 0 \\ 0 & c_{22} \end{pmatrix}_{\text{CC}}; \quad (53)$$

$$d_{11} = \begin{pmatrix} a_d & \sigma_d \\ \rho_d & ib_d \end{pmatrix}_{\text{BF}}, \quad d_{22} = \begin{pmatrix} a_d & \rho_d \\ -\sigma_d & ib_d \end{pmatrix}_{\text{BF}}, \quad (54)$$

$$c_{11} = \begin{pmatrix} a_c & \sigma_c \\ \rho_c & ib_c \end{pmatrix}_{\text{BF}}, \quad c_{22} = \begin{pmatrix} -a_c & -\rho_c \\ \sigma_c & -ib_c \end{pmatrix}_{\text{BF}}. \quad (55)$$

2. Антисимметричная часть

$$d_a = \begin{pmatrix} 0 & d_{12} \\ d_{21} & 0 \end{pmatrix}_{\text{CC}}, \quad c_a = \begin{pmatrix} 0 & c_{12} \\ c_{21} & 0 \end{pmatrix}_{\text{CC}}; \quad (56)$$

$$d_{12} = \begin{pmatrix} g_d & \chi_d \\ \chi_d & 0 \end{pmatrix}_{\text{BF}}, \quad d_{21} = \begin{pmatrix} g_d^* & \zeta_d \\ -\zeta_d & 0 \end{pmatrix}_{\text{BF}}, \quad (57)$$

$$c_{12} = \begin{pmatrix} 0 & \chi_c \\ -\chi_c & ig_c \end{pmatrix}_{\text{BF}}, \quad c_{21} = \begin{pmatrix} 0 & \zeta_c \\ \zeta_c & ig_c^* \end{pmatrix}_{\text{BF}}. \quad (58)$$

Как видно из явного вида матриц c и d , помимо симметричных соотношений (49) были использованы дополнительные условия. Как будет видно далее, для сходимости интеграла $\int DW e^{-S^2[W]}$ нужно наложить следующие условия:

$$d_{11}^{BB}, c_{11}^{BB} \in \mathbb{R}, \quad (59)$$

$$d_{11}^{FF}, c_{11}^{FF} \in i\mathbb{R}, \quad (60)$$

$$d_{21}^{BB} = (d_{12}^{BB})^*, \quad (61)$$

$$c_{21}^{FF} = -(c_{12}^{FF})^*. \quad (62)$$

4.2 Гауссово действие

Теперь подставляя (45) в действие (11) при $E = 0$, оставляем только квадратичные вклады. Линейных вкладов нет, так как рассматривается смещение от седлового решения. Получаем

$$S_a^{(2)} = \frac{\pi\nu}{4} \int d\mathbf{r} \text{str} [c_a A_{ac} c_a + d_a A_{ad} d_a - \cos \theta^R \nabla \phi \Sigma_3 (c_a \nabla d_a - \nabla c_a d_a - d_a \nabla c_a + \nabla d_a c_a)]; \quad (63)$$

$$S_s^{(2)} = \frac{\pi\nu}{4} \int d\mathbf{r} \text{str} [c_s A_{sc} c_s + d_s A_{sd} d_s - \cos \theta^R \nabla \phi \Sigma_3 (c_s \nabla d_s - \nabla c_s d_s - d_s \nabla c_s + \nabla d_s c_s)], \quad (64)$$

где

$$A_{ac} = -D\nabla^2 + 2\Delta \sin \theta^R - D[(\nabla\theta^R)^2 + \sin^2 \theta^R(\nabla\phi)^2], \quad (65)$$

$$A_{ad} = -D\nabla^2 + 2\Delta \sin \theta^R, \quad (66)$$

$$A_{sc} = -D\nabla^2 + 2\Delta \sin \theta^R + D \cos 2\theta^R(\nabla\phi)^2, \quad (67)$$

$$A_{sd} = -D\nabla^2 + 2\Delta \sin \theta^R - D[(\nabla\theta^R)^2 - \cos^2 \theta^R(\nabla\phi)^2]. \quad (68)$$

Подставим явные выражения для матриц c и d в (63) и возьмем суперслед. В антисимметричной части следы вида $\Sigma_3 c_a d_a$ равны 0, что проверяется непосредственной подстановкой. В симметричной части перекрестные члены не равны 0. Тем не менее, интегрируя по частям, можно добиться того, что перекрестные члены будут иметь вид $c\nabla(\cos\theta\nabla\phi)d$. Это выражение равно 0, т.к. $\nabla^2\phi = 0$ и $\nabla\phi\nabla\theta = 0$, см. (25).

В результате, c и d моды не перемешиваются:

$$S^{(2)}[W] = \frac{\pi\nu}{2} \int d\mathbf{r} [g_d A_{ad} g_d^* - 2\chi_d A_{ad} \zeta_d + g_c A_{ac} g_c^* + 2\chi_c A_{ac} \zeta_c + a_d A_{sd} a_d + b_d A_{sd} b_d + 2\sigma_d A_{sd} \rho_d + a_c A_{sc} a_c + b_c A_{sc} b_c + 2\sigma_c A_{sc} \rho_c]. \quad (69)$$

Как видно из (69), интеграл $\int DW e^{-S^{(2)}[W]}$ сходится при потребованных условиях (59).

Несложно проверить, что все операторы в (65) кроме A_{ac} имеют наименьшее собственное значение больше 0. Оператор A_{ac} содержит нулевую моду с волновой функцией $\cos\theta^R$, что является следствием наличия симметрии C класса. Эту моду нужно исключить из матриц W , т.к. она уже учтена в поворотах T .

С помощью гауссового действия (69) можно строить теорию возмущений для физических величин, например, для плотности состояний, вводя операцию усреднения по флуктуациям

$$\langle \dots \rangle = \int DW \dots e^{-S^{(2)}[W]}. \quad (70)$$

Выпишем все возможные ненулевые средние, индуцированные действием (69):

$$\langle g_d(\mathbf{r}) g_d^*(\mathbf{r}') \rangle = \frac{2}{\pi\nu} A_{ad}^{-1}(\mathbf{r}, \mathbf{r}'), \quad \langle g_c(\mathbf{r}) g_c^*(\mathbf{r}') \rangle = \frac{2}{\pi\nu} A_{ac}^{-1}(\mathbf{r}, \mathbf{r}'), \quad (71)$$

$$\langle \chi_d(\mathbf{r}) \zeta_d(\mathbf{r}') \rangle = \frac{1}{\pi\nu} A_{ad}^{-1}(\mathbf{r}, \mathbf{r}'), \quad \langle \zeta_c(\mathbf{r}) \chi_c(\mathbf{r}') \rangle = \frac{1}{\pi\nu} A_{ac}^{-1}(\mathbf{r}, \mathbf{r}'), \quad (72)$$

$$\langle a_i(\mathbf{r}) a_i(\mathbf{r}') \rangle = \frac{1}{\pi\nu} A_{si}^{-1}(\mathbf{r}, \mathbf{r}'), \quad i = d, c, \quad (73)$$

$$\langle b_i(\mathbf{r}) b_i(\mathbf{r}') \rangle = \frac{1}{\pi\nu} A_{si}^{-1}(\mathbf{r}, \mathbf{r}'), \quad i = d, c, \quad (74)$$

$$\langle \rho_i(\mathbf{r}) \sigma_i(\mathbf{r}') \rangle = \frac{1}{\pi\nu} A_{si}^{-1}(\mathbf{r}, \mathbf{r}'), \quad i = d, c. \quad (75)$$

4.3 Правила слияния

Для облегчения дальнейших вычислений удобно вывести так называемые правила слияния, которые выражают средние

$$\langle \text{str} [PW(\mathbf{r})RW(\mathbf{r}')] \rangle \text{ и } \langle \text{str} [PW(\mathbf{r})] \text{str} [RW(\mathbf{r}')] \rangle.$$

через матрицы P и R . В обычном унитарном или ортогональном случае на фоне пространственно-однородного решения они имеют довольно простой вид. Как мы увидим ниже, в случае диффузных мод на фоне вихревого решения правила слияния являются довольно громоздкими.

4.3.1 Вычисление $\langle \text{str} [PW(\mathbf{r})] \text{str} [RW(\mathbf{r}')] \rangle$

Разложим матрицы P и R по матрицам Паули в пространстве Намбу:

$$P = P_0\tau_0 + P_1\tau_1 + P_2\tau_2 + P_3\tau_3. \quad (76)$$

Беря след по N получаем

$$\langle \text{str}_8 [PW(\mathbf{r})] \text{str}_8 [RW(\mathbf{r}')] \rangle = 4\langle \text{str}_4(P_2c + P_3d) \text{str}_4(R_2c + R_3d) \rangle. \quad (77)$$

В действии (69) симметричные и антисимметричные вклады не перемешиваются, поэтому их можно усреднять независимо. Используя это можно упростить последнее выражение

$$4\langle \text{str}_4(P_2c_a + P_3d_a) \text{str}_4(R_2c_a + R_3d_a) + \text{str}_4(P_2c_s + P_3d_s) \text{str}_4(R_2c_s + R_3d_s) \rangle. \quad (78)$$

1. Антисимметричный вклад

Вычислим след по пространству CC :

$$\text{str}_4(P_2c_a + P_3d_a) = \text{str}_2(P_2^{12}c_{21} + P_2^{21}c_{12} + P_3^{12}d_{21} + P_3^{21}d_{12}). \quad (79)$$

Расписав последнее выражение через явные вид матриц c и d получаем

$$\begin{aligned} \text{str}_4(P_2c_a + P_3d_a) = & -iP_2^{12,FF}g_c^* - iP_2^{21,FF}g_c + (P_2^{12,BF} - P_2^{12,FB})\zeta_c - (P_2^{21,BF} + P_2^{21,FB})\chi_c \\ & + P_3^{12,BB}g_d^* + P_3^{21,BB}g_d - (P_3^{12,BF} + P_3^{12,FB})\zeta_d + (P_3^{21,BF} - P_3^{21,FB})\chi_d. \end{aligned} \quad (80)$$

Для членов с R получится такое же выражение. Перемножая члены с R и P и усредняя, получаем

$$\langle \text{str}_8 [PW_a(\mathbf{r})] \text{str}_8 [RW_a(\mathbf{r}')] \rangle = \frac{4}{\pi\nu}\Omega_1 A_{ad}^{-1}(\mathbf{r}, \mathbf{r}') + \frac{4}{\pi\nu}\Omega_2 A_{ac}^{-1}(\mathbf{r}, \mathbf{r}'), \quad (81)$$

где

$$\begin{aligned} \Omega_1 = 2P_3^{12,BB} R_3^{21,BB} + 2P_3^{21,BB} R_3^{12,BB} - (P_3^{12,BF} + P_3^{12,FB})(R_3^{21,BF} - R_3^{21,FB}) \\ + (P_3^{21,BF} - P_3^{21,FB})(R_3^{12,BF} + R_3^{12,FB}); \end{aligned} \quad (82)$$

$$\begin{aligned} \Omega_2 = -2P_2^{12,FF} R_2^{21,FF} - 2P_2^{21,FF} R_2^{12,FF} + (P_2^{12,BF} - P_2^{12,FB})(R_2^{21,BF} + R_2^{21,FB}) \\ - (P_2^{21,BF} + P_2^{21,FB})(R_2^{12,BF} - R_2^{12,FB}). \end{aligned} \quad (83)$$

Введем новые матрицы

$$P_{ai} = \frac{1}{2}(P_i - \Sigma_3 P_i \Sigma_3), \quad P_{si} = \frac{1}{2}(P_i + \Sigma_3 P_i \Sigma_3), \quad (84)$$

$$\hat{P}_i = P_i - \gamma P_i^T \gamma^T, \quad (85)$$

$$\check{P}_i = P_i + \gamma P_i^T \gamma^T. \quad (86)$$

Используя эти матрицы, можно написать итоговое выражение для антисимметричного вклада:

$$\langle \text{str}_8 [PW_a(\mathbf{r})] \text{str}_8 [RW_a(\mathbf{r}')] \rangle = \frac{2}{\pi\nu} A_{ad}^{-1}(\mathbf{r}, \mathbf{r}') \text{str}_4[\check{P}_{a3} \check{R}_{a3}] + \frac{2}{\pi\nu} A_{ac}^{-1}(\mathbf{r}, \mathbf{r}') \text{str}_4[\hat{P}_{a2} \hat{R}_{a2}]. \quad (87)$$

2. Симметричный вклад

Вычислим снова след по пространству CS :

$$\text{str}_4(P_2 c_s + P_3 d_s) = \text{str}_2(P_2^{11} c_{11} + P_2^{22} c_{22} + P_3^{11} d_{11} + P_3^{22} d_{22}). \quad (88)$$

Используя явный вид матриц c и d , берем след по ВФ:

$$\begin{aligned} \text{str}_4(P_2 c_s + P_3 d_s) = (P_2^{11,BB} - P_2^{22,BB}) a_c + i(P_2^{22,FF} - P_2^{11,FF}) b_c + (P_2^{11,BF} + P_2^{22,FB}) \rho_c + (P_2^{22,BF} - P_2^{11,FB}) \sigma_c \\ + (P_3^{11,BB} + P_3^{22,BB}) a_d - i(P_3^{11,FF} + P_3^{22,FF}) b_d + (P_3^{11,BF} - P_3^{22,FB}) \rho_d - (P_3^{11,FB} + P_3^{22,BF}) \sigma_d. \end{aligned} \quad (89)$$

Перемножая члены с R и P и усредняя, получаем выражение

$$\langle \text{str}_8 [PW_s(\mathbf{r})] \text{str}_8 [RW_s(\mathbf{r}')] \rangle = \frac{4}{\pi\nu} [\Omega_{11} A_{sd}^{-1}(\mathbf{r}, \mathbf{r}') + \Omega_{22} A_{sc}^{-1}(\mathbf{r}, \mathbf{r}')], \quad (90)$$

где

$$\begin{aligned} \Omega_{11} = (P_3^{11,BB} + P_3^{22,BB})(R_3^{11,BB} + R_3^{22,BB}) - (P_3^{11,FF} + P_3^{22,FF})(R_3^{11,FF} + R_3^{22,FF}) \\ + (P_3^{11,BF} - P_3^{22,FB})(R_3^{11,FB} + R_3^{22,BF}) - (P_3^{11,FB} + P_3^{22,BF})(R_3^{11,BF} - R_3^{22,FB}). \end{aligned} \quad (91)$$

$$\begin{aligned} \Omega_{22} = & (P_2^{11,BB} - P_2^{22,BB})(R_2^{11,BB} - R_2^{22,BB}) - (P_2^{22,FF} - P_2^{11,FF})(R_2^{22,FF} - R_2^{11,FF}) \\ & - (P_2^{11,BF} + P_2^{22,FB})(R_2^{22,BF} - R_2^{11,FB}) + (P_2^{22,BF} - P_2^{11,FB})(R_2^{11,BF} + R_2^{22,FB}). \end{aligned} \quad (92)$$

Используя вновь (84) можем написать ответ для симметричного вклада:

$$\langle \text{str}_8 [PW_s(\mathbf{r})] \text{str}_8 [RW_s(\mathbf{r}')] \rangle = \frac{2}{\pi\nu} A_{sd}^{-1}(\mathbf{r}, \mathbf{r}') \text{str}_4 [\check{P}_{s3} \check{R}_{s3}] + \frac{2}{\pi\nu} A_{sc}^{-1}(\mathbf{r}, \mathbf{r}') \text{str}_4 [\hat{P}_{s2} \hat{R}_{s2}]. \quad (93)$$

Таким образом, суммируя полученные результаты (87) и (93), можно написать полную формулу для рассматриваемого правила слияния:

$$\begin{aligned} \langle \text{str}_8 [PW(\mathbf{r})] \text{str}_8 [RW(\mathbf{r}')] \rangle = & \frac{2}{\pi\nu} A_{ad}^{-1}(\mathbf{r}, \mathbf{r}') \text{str}_4 [\check{P}_{a3} \check{R}_{a3}] + \frac{2}{\pi\nu} A_{ac}^{-1}(\mathbf{r}, \mathbf{r}') \text{str}_4 [\hat{P}_{a2} \hat{R}_{a2}] \\ & + \frac{2}{\pi\nu} A_{sd}^{-1}(\mathbf{r}, \mathbf{r}') \text{str}_4 [\check{P}_{s3} \check{R}_{s3}] + \frac{2}{\pi\nu} A_{sc}^{-1}(\mathbf{r}, \mathbf{r}') \text{str}_4 [\hat{P}_{s2} \hat{R}_{s2}]. \end{aligned} \quad (94)$$

4.3.2 Вычисление $\langle \text{str} [PW(\mathbf{r})RW(\mathbf{r}')] \rangle$

Вновь разлагая P и R по матрицам τ_i пространства и беря след по N , получаем

$$\begin{aligned} \langle \text{str}_8 [PW(\mathbf{r})RW(\mathbf{r}')] \rangle = & 2\langle \text{str}_4 (P_2c + P_3d)(R_2c + R_3d) + (P_0c - iP_1d)(R_0c - iR_1d) \\ & - (P_2d - P_3c)(R_2d - R_3c) + (P_0d + iP_1c)(R_0d + iR_1c) \rangle. \end{aligned} \quad (95)$$

Нам нужно вычислять средние вида

$$\begin{aligned} \langle \text{str}_4 (\alpha P_i c + \beta P_j d)(\alpha R_i c + \beta R_j d) \rangle = & \langle \text{str}_4 (\alpha P_i c_a + \beta P_j d_a)(\alpha R_i c_a + \beta R_j d_a) \rangle \\ & + \langle \text{str}_4 (\alpha P_i c_s + \beta P_j d_s)(\alpha R_i c_s + \beta R_j d_s) \rangle, \end{aligned} \quad (96)$$

где последнее равенство следует из независимого усреднения симметричных и антисимметричных мод.

1. Антисимметричный вклад

Упростим выражение для антисимметричной части

$$\langle \text{str}_4 (\alpha P_i c_a + \beta P_j d_a)(\alpha R_i c_a + \beta R_j d_a) \rangle = \langle \text{str}_4 [\alpha^2 P_i c_a R_i c_a + \beta^2 P_j d_a R_j d_a] \rangle. \quad (97)$$

Используя явный вид матриц c и d , возьмем след по CS и оставим только неисчезающие средние:

$$\langle \alpha^2 \text{str}_2 [P_i^{11} c_{12} R_i^{22} c_{21} + P_i^{22} c_{21} R_i^{11} c_{12}] + \beta^2 \text{str}_2 [P_j^{11} d_{12} R_j^{22} d_{21} + P_j^{22} d_{21} R_j^{11} d_{12}] \rangle. \quad (98)$$

Усредняя, ответ запишется в виде

$$\langle \text{str}_4 (\alpha P_i c_a + \beta P_j d_a)(\alpha R_i c_a + \beta R_j d_a) \rangle = \frac{\alpha^2}{\pi\nu} A_{ac}^{-1} \Gamma_1 + \frac{\beta^2}{\pi\nu} A_{ad}^{-1} \Gamma_2, \quad (99)$$

где

$$\begin{aligned} \Gamma_1 = & 2P_i^{22,FF} R_i^{11,FF} - P_i^{11,FF} R_i^{22,BB} - P_i^{11,FB} R_i^{22,FB} - P_i^{11,BB} R_i^{22,FF} - P_i^{11,BF} R_i^{22,BF} \\ & + 2P_i^{11,FF} R_i^{22,FF} - P_i^{22,FF} R_i^{11,BB} + P_i^{22,FB} R_i^{11,FB} - P_i^{22,BB} R_i^{11,FF} + P_i^{22,BF} R_i^{11,BF}; \end{aligned} \quad (100)$$

$$\begin{aligned} \Gamma_2 = & 2P_j^{22,BB} R_j^{11,BB} + 2P_j^{11,BB} R_j^{22,BB} - P_j^{22,FF} R_j^{11,BB} - P_j^{22,BF} R_j^{11,BF} - P_j^{22,FB} R_j^{11,FB} \\ & - P_j^{22,BB} R_j^{11,FF} - P_j^{11,FF} R_j^{22,BB} + P_j^{11,BF} R_j^{22,BF} + P_j^{11,FB} R_j^{22,FB} - P_j^{11,BB} R_j^{22,FF}. \end{aligned} \quad (101)$$

Эти выражения можно упростить, переписав через суперследы. Итоговое выражение:

$$\begin{aligned} \langle \text{str}_4(\alpha P_i c_a + \beta P_j d_a)(\alpha R_i c_a + \beta R_j d_a) \rangle = & \frac{\alpha^2}{2\pi\nu} A_{ac}^{-1} [\text{str}_4 P_i \text{str}_4 R_i - \text{str}_4 P_i \Sigma_3 \text{str}_4 R_i \Sigma_3 - 2 \text{str}_4 P_i \overline{R}_{si}] \\ & + \frac{\beta^2}{2\pi\nu} A_{ad}^{-1} [\text{str}_4 P_j \text{str}_4 R_j - \text{str}_4 P_j \Sigma_3 \text{str}_4 R_j \Sigma_3 + 2 \text{str}_4 P_j \overline{R}_{sj}]. \end{aligned} \quad (102)$$

2. Симметричный вклад

Рассматривая теперь симметричную часть, снова берем след по СС, оставляя только неисчезающие средние:

$$\begin{aligned} \langle \text{str}_4(\alpha P_i c_s + \beta P_j d_s)(\alpha R_i c_s + \beta R_j d_s) \rangle = & \langle \text{str}_2[\alpha^2 P_i^{11} c_{11} R_i^{11} c_{11} + \beta^2 P_j^{11} d_{11} R_j^{11} d_{11} + \alpha^2 P_i^{12} c_{22} R_i^{21} c_{11} \\ & + \beta^2 P_j^{12} d_{22} R_j^{21} d_{11} + \alpha^2 P_i^{21} c_{11} R_i^{12} c_{22} + \beta^2 P_j^{21} d_{11} R_j^{12} d_{22} + \alpha^2 P_i^{22} c_{22} R_i^{22} c_{22} + \beta^2 P_j^{22} d_{22} R_j^{22} d_{22}] \rangle. \end{aligned} \quad (103)$$

Дальнейшая процедура аналогична вычислению антисимметричной части. Собирая выражения, полученные после усреднения, можно прийти к следующей формуле:

$$\begin{aligned} \langle \text{str}_4(\alpha P_i c_s + \beta P_j d_s)(\alpha R_i c_s + \beta R_j d_s) \rangle = & \frac{\alpha^2}{2\pi\nu} A_{sc}^{-1} [\text{str}_4 P_i \text{str}_4 R_i + \text{str}_4 P_i \Sigma_3 \text{str}_4 R_i \Sigma_3 - 2 \text{str}_4 P_i \overline{R}_{ia}] \\ & + \frac{\beta^2}{2\pi\nu} A_{sd}^{-1} [\text{str}_4 P_j \text{str}_4 R_j + \text{str}_4 P_j \Sigma_3 \text{str}_4 R_j \Sigma_3 + 2 \text{str}_4 P_j \overline{R}_{ja}]. \end{aligned} \quad (104)$$

Подставляя формулы (102) и (104) в (95), можно вычислить правило слияния. Общая формула очень громоздкая, поэтому проще ее иметь в виде правила вычислений средних вида (96).

4.3.3 Вычисление $\langle \text{str} [PW^2(\mathbf{r})] \rangle$

Частным случаем общего правила слияния (95), который будет неоднократно использоваться ниже, является среднее $\langle \text{str}_8 PW^2 \rangle$. Оно следует из (95), если R заменить единичной матрицей, т.е.

$R_i = \tau_0 \delta_{i0}$, так что среди всех членов в (95) остается только P_0 . Используя формулы (102) и (104) и выражая P_0 через P из соотношения (76), можно получить

$$\langle \text{str}_8 PW^2(\mathbf{r}) \rangle = \frac{1}{\pi\nu} [A_{ad}^{-1}(\mathbf{r}, \mathbf{r}) - A_{ac}^{-1}(\mathbf{r}, \mathbf{r})] \text{str}_8 P, \quad (105)$$

где операторы A_{ac} и A_{ad} определены в уравнениях (65). Иными словами, имеет место равенство

$$\langle W^2(\mathbf{r}) \rangle = \frac{1}{\pi\nu} [A_{ad}^{-1}(\mathbf{r}, \mathbf{r}) - A_{ac}^{-1}(\mathbf{r}, \mathbf{r})] \mathbb{1}_8. \quad (106)$$

Отметим, что особенностью рассматриваемой системы является ненулевое значение среднего $\langle W^2 \rangle$, в отличие от стандартных вигнер-дайсоновских классов симметрии. В последнем случае обращаются в нуль любые средние $\langle W^n \rangle$, гарантируя тождество $\langle Q \rangle = \Lambda$ [4]. В нашем случае поправки к средней плотности состояний не запрещены симметрией, проявлением чего является формула (106).

При отсутствии вихря параметр порядка и спектральный угол постоянны. В этом случае операторы A_{ac} и A_{ad} равны между собой и даются выражением $-D\nabla^2 + 2\Delta_0$. Тем самым, $\langle W^2 \rangle$ обращается в 0. При этом обратные операторы в совпадающих точках содержат большой логарифм от области двумерной диффузии: $A_{ad}^{-1}(\mathbf{r}, \mathbf{r}) = A_{ac}^{-1}(\mathbf{r}, \mathbf{r}) = \ln(\xi/l)/2\pi D$. В присутствии вихря операторы A_{ac} и A_{ad} различаются, а их обратные $A_{ad}^{-1}(\mathbf{r}, \mathbf{r})$ и $A_{ac}^{-1}(\mathbf{r}, \mathbf{r})$ отличаются от $\ln(\xi/l)/2\pi D$ числом под логарифмом порядка единицы, и это отличие существенно при $r \lesssim \xi$. Таким образом, в величине $\langle W^2(\mathbf{r}) \rangle$ присущий слабой локализации логарифм сокращается. Свойства правой части уравнения (106) подробно разобраны в Приложении В.

5 Вычисление поправок к плотности состояний

Средняя плотность состояний для класса С дается выражением (44), отвечающему нульмерному пределу, когда пренебрегается вкладом массивных флуктуаций W . Этот вклад мал по $1/g$ и в этой главе мы вычислим его в ведущем порядке. Пертурбативный учет вклада массивных мод на фоне непертурбативного учета нулевых мод для металлической гранулы был проделан в работе Кравцова и Мирлина [6]. Мы в целом следуем их логике, но в силу специфики рассматриваемой задачи поправки возникают уже для самой плотности состояний, а не корреляционной функции.

Глобальную плотность состояний можно записать в виде

$$\langle \rho(E) \rangle = \frac{\nu}{4} \text{Re} \int D\mathcal{Q} DW \int d\mathbf{r} \text{str}(\tau_3 \Sigma_3 k Q) \exp\{-S[W] - S_E[\mathcal{Q}, W]\}, \quad (107)$$

где действие $S[W] = S^{(2)}[W] + S^{(3)}[W] + \dots$, включающее в себя как гауссову часть (69), так и нелинейные вершины, не зависит от «нулевой» матрицы \mathcal{Q} , а $S_E[\mathcal{Q}, W]$ дается выражением

$$S_E[\mathcal{Q}, W] = \frac{i\pi\nu E}{2} \int d\mathbf{r} \text{str}(\tau_3 \Sigma_3 Q) = \frac{i\pi\nu E}{2} \int d\mathbf{r} \text{str}[\tau_3 \Sigma_3 T^{-1} U^{-1} \tau_1 (1 + W + W^2/2 + \dots) UT]. \quad (108)$$

В низшем (однопетлевом) порядке по флуктуациям W можно выделить шесть типов поправок в нульмерному ответу для плотности состояний:

1. разложение до W^2 в предэкспоненте;
2. разложение до W^2 в S_E ;
3. разложение до W и в предэкспоненте, и в S_E ;
4. разложение до W в двух S_E ;
5. разложение до W в предэкспоненте и до W^3 в нелинейном действии $S[W]$; этот вклад отвечает поправкам слабой локализации к коэффициенту диффузии;
6. аналогичное разложение, где W берется не в предэкспоненте, а в S_E .

В каждом из этих случаев возникают две или четыре матрицы W , которые требуется усреднить с гауссовым действием $S^{(2)}[W]$ согласно (70). Возникающие спаривания обрабатываются по теореме Вика с учетом правил слияния, выведенных в разделе 4.3.

Для облегчения дальнейших вычислений удобно ввести матрицы $\mathcal{Q}, \mathcal{Q}'$:

$$\tilde{\mathcal{Q}} = t\Sigma_3 t^{-1} \quad \tilde{\mathcal{Q}}' = t\Sigma_3 k t^{-1}. \quad (109)$$

5.1 Вклад от разложения предэкспоненты до W^2

Как мы увидим, вклады от разложения предэкспоненты до W^2 и от разложения S_E до W^2 имеют много общего. Первый из этих вкладов запишется с учетом (33) как:

$$\delta\rho(E)_{W^2} = \frac{\nu}{8} \int D\mathcal{Q} \operatorname{Re} \int d\mathbf{r} \langle \operatorname{str}(U\tau_3\tilde{\mathcal{Q}}U^{-1}\tau_1 W^2(\mathbf{r})) \rangle \exp\left[-\frac{i\pi E}{2\omega_0} \operatorname{str}_4(\Sigma_3\mathcal{Q})\right]. \quad (110)$$

Выражение под средним имеет вид PW^2 , поэтому используя (105) и явный вид матрицы P

$$U\tau_3\tilde{\mathcal{Q}}U^{-1}\tau_1 = \frac{i}{2}\tau_2(\tilde{\mathcal{Q}} - \Sigma_3\tilde{\mathcal{Q}}\Sigma_3) + \frac{i}{2}\tau_2 \sin\theta^R(\tilde{\mathcal{Q}} + \Sigma_3\tilde{\mathcal{Q}}\Sigma_3) + \frac{1}{2}\tau_0 \cos\theta^R(\Sigma_3\tilde{\mathcal{Q}} + \tilde{\mathcal{Q}}\Sigma_3), \quad (111)$$

напишем, чему равна поправка для плотности состояний:

$$\delta\rho(E)_{W^2} = \frac{1}{4\pi} \int d\mathbf{r} \cos\theta^R(\mathbf{r})(A_{ad}^{-1}(\mathbf{r}, \mathbf{r}) - A_{ac}^{-1}(\mathbf{r}, \mathbf{r})) \operatorname{Re} \int D\mathcal{Q} \operatorname{str}_4(\Sigma_3 k\mathcal{Q}) \exp\left[-\frac{i\pi E}{2\omega_0} \operatorname{str}_4(\Sigma_3\mathcal{Q})\right]. \quad (112)$$

Делая замену переменных $R = r/\xi$ в пространственном интеграле, получаем

$$\delta\rho(E)_{W^2} = \frac{C_2}{8\pi\Delta_0} \operatorname{Re} \int D\mathcal{Q} \operatorname{str}_4(\Sigma_3 k\mathcal{Q}) \exp\left[-\frac{i\pi E}{2\omega_0} \operatorname{str}_4(\Sigma_3\mathcal{Q})\right], \quad (113)$$

где безразмерный коэффициент

$$C_2 = \int d\mathbf{R} \cos\theta^R(R)(A_{ad}^{-1}(\mathbf{R}, \mathbf{R}) - A_{ac}^{-1}(\mathbf{R}, \mathbf{R})) \quad (114)$$

определен через безразмерные операторы

$$A_{ac}(\mathbf{R}) = -\nabla_R^2 + \frac{\Delta}{\Delta_0} \sin\theta^R - \left[(\nabla_R\theta^R)^2 + \frac{\sin^2\theta^R}{R^2} \right]; \quad (115)$$

$$A_{ad}^{-1}(\mathbf{R}) = -\nabla_R^2 + \frac{\Delta}{\Delta_0} \sin\theta^R. \quad (116)$$

Итого, можно написать ответ через нульмерную среднюю плотность состояний в C классе (44)

$$\delta\rho(E)_{W^2} = \frac{\omega_0 C_2}{2\pi\Delta_0} \langle \rho_C(E) \rangle. \quad (117)$$

Заметим, что этот результат можно было бы получить сразу. Действительно, согласно (106), $\langle W^2 \rangle$ это единичная матрица, поэтому единственное влияние усреднение оказывает на пространственное выражение, а именно $\int d\mathbf{r} \cos\theta^R \rightarrow \int \cos\theta^R (A_{ad}^{-1}(\mathbf{r}, \mathbf{r}) - A_{ac}^{-1}(\mathbf{r}, \mathbf{r}))/2\pi\nu$. Поэтому можно сразу написать

$$\delta\rho(E)_{W^2} = \frac{\int \cos\theta^R (A_{ad}^{-1}(\mathbf{r}, \mathbf{r}) - A_{ac}^{-1}(\mathbf{r}, \mathbf{r})) \langle \rho(E) \rangle}{2\pi\nu \int d\mathbf{r} \cos\theta^R} = \frac{\omega_0 C_2}{2\pi\Delta_0} \langle \rho_C(E) \rangle. \quad (118)$$

Таким образом для отношения имеем

$$\frac{\delta\rho(E)_{W^2}}{\langle\rho_C(E)\rangle} = \frac{C_2\omega_0}{2\pi\Delta_0} = \frac{C_2}{\pi C_1} \frac{1}{g}. \quad (119)$$

Интеграл в (114) оценен в Приложении В и оказывается численно мал:

$$\frac{C_2}{C_1} \approx 0.013. \quad (120)$$

Для отношения теперь (119) можно написать оценку

$$\frac{\delta\rho(E)_{W^2}}{\langle\rho_C(E)\rangle} \approx 0.004 \frac{1}{g}. \quad (121)$$

5.2 Вклад от разложения S_E до W^2

Поправка к плотности состояний будет выглядеть следующим образом:

$$\delta\rho(E)_{EW^2} = \frac{\nu^2\pi E}{16} \int D\mathcal{Q} \operatorname{Im} \int d\mathbf{r} \operatorname{str}(\tau_3 \Sigma_3 k Q_{zero}(\mathbf{r})) \int d\mathbf{r}' \langle \operatorname{str} U \tau_3 \tilde{Q} U^{-1} \tau_1 W^2(\mathbf{r}') \rangle \exp[-S_E[Q_{zero}]]. \quad (122)$$

Используя (105), можно сразу провести усреднение. Останется лишь взять следы вида $\operatorname{str} \tau_3 k \mathcal{Q}$ и $\operatorname{str} \Sigma_3 \mathcal{Q}$, которые уже были найдены при вычислении средней плотности состояний в С классе (44).

Тогда, для поправки к плотности состояний имеем

$$\begin{aligned} \delta\rho(E)_{EW^2} = \nu E \int d\mathbf{r} \cos\theta^R \times \int d\mathbf{r}' \cos\theta^R [A_{ad}^{-1}(\mathbf{r}', \mathbf{r}') - A_{ac}^{-1}(\mathbf{r}', \mathbf{r}')] \\ \times \operatorname{Im} \int D\mathcal{Q} [1 + \cos\theta + 2\zeta\eta(1 - \cos\theta)][1 - \cos\theta] \exp[-S_E[Q_{zero}]]. \end{aligned} \quad (123)$$

Обратим внимание, что наличие множителя $(1 - \cos\theta)$, пришедшего из S_E , при интегрировании скомпенсирует большой множитель ν . В результате, поправка будет иметь тот же порядок, что и разобранный в разделе 5.1.

Сделаем замену $R = r/\xi$ в пространственных интегралах:

$$\delta\rho(E)_{EW^2} = \frac{E}{4\Delta_0\omega_0} C_2 \operatorname{Im} \int D\mathcal{Q} [1 + \cos\theta + 2\zeta\eta(1 - \cos\theta)][1 - \cos\theta] \exp[-S_E[Q_{zero}]]. \quad (124)$$

Этот интеграл не содержит сингулярности, поэтому можно сразу проинтегрировать по грассманам.

После взятия оставшегося интеграла по сфере получается ответ:

$$\delta\rho(E)_{EW^2} = \frac{C_2}{2\pi\Delta_0} \left[\frac{\sin 2\pi E/\omega_0}{2\pi E/\omega_0} - \cos 2\pi E/\omega_0 \right]. \quad (125)$$

Так же как и для вклада от W^2 в экспоненте, здесь тоже можно сразу получить результат. $\langle W^2 \rangle$ — единичная матрица, поэтому усреднение будет просто давать дополнительный коэффициент за счет пространственной структуры $\langle W^2(\mathbf{r}) \rangle$. Поэтому без разницы, в каком суперследе будет стоять W^2 . Перенося W^2 в суперслед в предэкспоненте, мы получаем выражение как в (110) но с дополнительным множителем $-S_E[Q_{zero}]$. Таким образом можем написать выражение для поправки в виде:

$$\delta\rho(E)_{EW^2} = E \frac{d}{dE} \delta\rho(E)_{W^2}. \quad (126)$$

Сложив (125) с поправкой (117) получаем выражение:

$$\delta\rho(E)_{W^2} + \delta\rho(E)_{EW^2} = \frac{C_2}{2\pi\Delta_0} \left(1 + E \frac{d}{dE}\right) \left(1 - \frac{\sin 2\pi E/\omega_0}{2\pi E/\omega_0}\right) = \frac{2C_2}{\pi C_1 \omega_0 g} \sin^2[\pi E/\omega_0]. \quad (127)$$

5.3 Вклад от W в предэкспоненте и в разложении S_E

Еще одним вкладом второго порядка по W^2 является вклад от W в предэкспоненте и в разложении S_E . Этот вклад записывается как

$$\delta\rho(E)_{WEW} = \frac{\nu^2 \pi E}{8} \text{Im} \int d\mathbf{r} \int d\mathbf{r}' \int DQ \langle \langle \text{str}[U\tau_3 \tilde{Q}' U^{-1} \tau_1 W(\mathbf{r})] \text{str}[U\tau_3 \tilde{Q}' U^{-1} \tau_1 W(\mathbf{r}')] \rangle \rangle \exp[-S_E[Q_{zero}]]. \quad (128)$$

Под знаком усреднения стоит выражение вида $\langle \text{str}_8 PW \text{str}_8 RW \rangle$, поэтому для использования правила слияния (94) нужно выделить вклады, соответствующие матрицам τ_2 и τ_3 . Из (111) видно, что

$$P_2 = \frac{i}{2} (\tilde{Q}' - \Sigma_3 \tilde{Q}' \Sigma_3) + \frac{i}{2} \sin \theta^R (\tilde{Q}' + \Sigma_3 \tilde{Q}' \Sigma_3), \quad P_3 = 0; \quad (129)$$

$$R_2 = \frac{i}{2} (\tilde{Q} - \Sigma_3 \tilde{Q} \Sigma_3) + \frac{i}{2} \sin \theta^R (\tilde{Q} + \Sigma_3 \tilde{Q} \Sigma_3), \quad R_3 = 0. \quad (130)$$

Можно теперь использовать правило слияния (94), которое в этом случае выглядит следующим образом:

$$\langle \text{str}[U\tau_3 \tilde{Q}' U^{-1} \tau_1 W(\mathbf{r})] \text{str}[U\tau_3 \tilde{Q}' U^{-1} \tau_1 W(\mathbf{r}')] \rangle = \frac{2}{\pi\nu} \left[A_{ac}^{-1}(\mathbf{r}, \mathbf{r}') \text{str}_4[\hat{P}_{a2} \hat{R}_{a2}] + A_{sc}^{-1}(\mathbf{r}, \mathbf{r}') \text{str}_4[\hat{P}_{s2} \hat{R}_{s2}] \right]. \quad (131)$$

Так как $\tilde{Q} - \gamma \tilde{Q}^T \gamma^T = 2\tilde{Q}$, можно упростить выражение:

$$\begin{aligned} \langle \text{str}[U\tau_3 \tilde{Q}' U^{-1} \tau_1 W(\mathbf{r})] \text{str}[U\tau_3 \tilde{Q}' U^{-1} \tau_1 W(\mathbf{r}')] \rangle &= -\frac{8}{\pi\nu} A_{ac}^{-1}(\mathbf{r}, \mathbf{r}') \text{str}_4[\tilde{Q}'_a \tilde{Q}_a] - \\ &\quad - \frac{8}{\pi\nu} A_{sc}^{-1}(\mathbf{r}, \mathbf{r}') \text{str}_4[\tilde{Q}'_s \tilde{Q}_s] \sin \theta^R(\mathbf{r}) \sin \theta^R(\mathbf{r}'). \end{aligned} \quad (132)$$

Остается вычислить суперследы в последнем выражении, используя параметризацию (36):

$$\text{str}_4[\tilde{\mathcal{Q}}'_a \tilde{\mathcal{Q}}_a] = \frac{1}{2} \text{str}_4[k - \mathcal{Q}\Sigma_3\mathcal{Q}\Sigma_3k] = 2 - [1 + \cos 2\theta + 2\zeta\eta(1 - \cos 2\theta)]; \quad (133)$$

$$\text{str}_4[\tilde{\mathcal{Q}}'_s \tilde{\mathcal{Q}}_s] = \frac{1}{2} \text{str}_4[k + \mathcal{Q}\Sigma_3\mathcal{Q}\Sigma_3k] = 2 + [1 + \cos 2\theta + 2\zeta\eta(1 - \cos 2\theta)]. \quad (134)$$

Обозначим входящие в (128) пространственные интегралы как α и β , где

$$\alpha = \int d\mathbf{r}d\mathbf{r}' A_{sc}^{-1}(\mathbf{r}, \mathbf{r}') \sin \theta(r) \sin \theta(r'), \quad \beta = \int d\mathbf{r}d\mathbf{r}' A_{ac}^{-1}(\mathbf{r}, \mathbf{r}'). \quad (135)$$

Каждый из этих интегралов расходится как объем системы $\sim V$. Собирая все члены, для поправки к плотности состояний имеем:

$$\delta\rho(E)_{WEW} = -\nu E \text{Im} \int D\mathcal{Q} [2(\alpha + \beta) - (\beta - \alpha)(1 + \cos 2\theta + 2\zeta\eta(1 - \cos 2\theta))] \exp\left(-i\pi \frac{E}{\omega_0}(1 - \cos \theta)\right). \quad (136)$$

За счет взятия мнимой части этот интеграл не содержит аномального вклада, возникающего от сингулярности меры $D\mathcal{Q}$. Поэтому можно сначала проинтегрировать по грассманам, а затем по сфере S^2 . В итоге бесконечный вклад от расходящегося $\alpha + \beta$ пропадает, и получается ответ:

$$\delta\rho(E)_{WEW} = -\frac{2C_0}{\pi\Delta_0 C_1} \left(1 - \frac{\sin 2\pi E/\omega_0}{2\pi E/\omega_0}\right). \quad (137)$$

Хотя функциональная зависимость полученной поправки от энергии совпадает с нульмерным ответом $\langle\rho_C(E)\rangle$, она возникает за счет существенно другого интеграла по седловому многообразию: (136) содержит косинусы двойного аргумента.

Безразмерный коэффициент C_0 в уравнении (137) определяется обезразмериванием величины $\alpha - \beta$ (135):

$$C_0 = \int d\mathbf{R} [z(R) \sin \theta^R - y(R)], \quad (138)$$

а функции z и y определяются из решения уравнений

$$A_{sc}(\mathbf{R})z(R) = \left\{-\nabla_R^2 + \frac{\Delta}{\Delta_0} \sin \theta^R + \frac{\cos 2\theta^R}{R^2}\right\} z(R) = \frac{1}{2} \sin \theta^R(R); \quad (139)$$

$$A_{ac}(\mathbf{R})y(R) = \left\{-\nabla_R^2 + \frac{\Delta}{\Delta_0} \sin \theta^R - \left[(\nabla_R \theta^R)^2 + \frac{\sin^2 \theta^R}{R^2}\right]\right\} y(R) = \frac{1}{2}. \quad (140)$$

Действительно, в (135) в β можно формальным образом произвести интегрирование по \mathbf{r}' . Такая свертка соответствует решению уравнения (140). Аналогично, для α и уравнения (139).

Интеграл в C_0 (138) посчитан в Приложении А. Таким образом отношение поправки (137) к нульмерной средней плотности состояний в классе C (44):

$$\frac{\delta\rho(E)_{WEW}}{\langle\rho_C(E)\rangle} = -\frac{4C_0}{\pi C_1^2} \frac{1}{g} \approx -0.25 \frac{1}{g} \quad (141)$$

Полученная поправка имеет относительный порядок $1/g$, что соответствует логике квантовых поправок.

5.4 Поправка от дважды разложенного S_E

Последний вклад второго порядка по W^2 возникает, если разложить действие S_E до первого порядка по W , а затем саму экспоненту разложить до 2 порядка и усреднить по W . Такая поправка к плотности состояний запишется как:

$$\delta\rho(E)_{EW} = -\frac{\pi^2\nu^3 E^2}{32} \text{Re} \int d\mathbf{r} \int d\mathbf{r}' \int d\mathbf{r}'' \int D\mathcal{Q} \text{str}[\tau_3 \Sigma_3 k Q_{zero}] \langle \text{str}[U\tau_3 \tilde{Q}U^{-1}\tau_1 W(\mathbf{r}')] \text{str}[U\tau_3 \tilde{Q}U^{-1}\tau_1 W(\mathbf{r}'')] \rangle \exp[-S_E[Q_{zero}]]. \quad (142)$$

Используя (132), можно вычислить среднее в предыдущем выражении.

$$\langle \text{str}[U\tau_3 \tilde{Q}U^{-1}\tau_1 W(\mathbf{r}')] \text{str}[U\tau_3 \tilde{Q}U^{-1}\tau_1 W(\mathbf{r}'')] \rangle = -\frac{8}{\pi\nu} A_{ac}^{-1}(\mathbf{r}', \mathbf{r}'') \text{str}_4[\tilde{Q}_a \tilde{Q}_a] - \frac{8}{\pi\nu} A_{sc}^{-1}(\mathbf{r}', \mathbf{r}'') \text{str}_4[\tilde{Q}_s \tilde{Q}_s] \sin \theta^R(\mathbf{r}') \sin \theta^R(\mathbf{r}''). \quad (143)$$

Вычислим оставшиеся суперследы:

$$\text{str}_4[\tilde{Q}_a \tilde{Q}_a] = \frac{1}{2} \text{str}_4[1 - \mathcal{Q}\Sigma_3 \mathcal{Q}\Sigma_3] = -(1 - \cos 2\theta); \quad (144)$$

$$\text{str}_4[\tilde{Q}_s \tilde{Q}_s] = \frac{1}{2} \text{str}_4[1 + \mathcal{Q}\Sigma_3 \mathcal{Q}\Sigma_3] = 1 - \cos 2\theta. \quad (145)$$

Поправка к плотности состояний тогда будет:

$$\delta\rho(E)_{EW} = \pi^2\nu^3 E^2 \text{Re} \int d\mathbf{r} \cos \theta^R(\mathbf{r}) (\alpha - \beta) \int D\mathcal{Q} [1 + \cos \theta + 2\zeta\eta(1 - \cos \theta)] [1 - \cos 2\theta] \exp[-S_E[Q_{zero}]] = \frac{\pi^2\nu^3 E^2 D^2 C_1 C_0}{4\Delta_0^3} \text{Re} \int D\mathcal{Q} [1 + \cos \theta + 2\zeta\eta(1 - \cos \theta)] [1 - \cos 2\theta] \exp[-S_E[Q_{zero}]], \quad (146)$$

где α, β определены (135), а C_0 определен в (138).

Этот интеграл не содержит сингулярность. После его вычисления получаем:

$$\delta\rho(E)_{EW} = -\frac{2C_0}{\pi C_1 \Delta_0} \left(\frac{\sin 2\pi E/\omega_0}{2\pi E/\omega_0} - \cos^2 \pi E/\omega_0 \right). \quad (147)$$

Эту поправку нужно сложить с поправкой (137):

$$\delta\rho(E)_{WEW} + \delta\rho(E)_{WE} = -\frac{2C_0}{\pi C_1 \Delta_0} \sin^2[\pi E/\omega_0] = -\frac{4C_0}{\pi C_1^2 \omega_0 g} \sin^2[\pi E/\omega_0]. \quad (148)$$

Мы видим, что как и для (127), функциональной зависимостью является $\sin^2 \pi E/\omega_0$.

Тем не менее, найденные поправки (127), (137) не содержат двумерного логарифма $\ln(\xi/l)$, что означает, что механизм проявления слаболокализационных поправок связан с членами более высоких порядков по W , см. разделы 5.5 и 5.6.

5.5 Поправка слабой локализации в предэкспоненте

Слабая локализация уменьшает плотность состояний уже на нулевой энергии, при этом она существует и для систем металлических, без параметра порядка. Поэтому появление логарифма ожидается за счет нелинейности в градиентном члене. В общем виде он может быть записан как

$$S^{(3)} = -\frac{\pi\nu D}{8} \int d\mathbf{r} \operatorname{str}[(\nabla Q')^2 + 2(Q'\nabla Q' - \nabla Q'Q')\mathbf{J} + 2Q'\mathbf{J}Q'\mathbf{J} - 2\mathbf{J}^2], \quad (149)$$

где

$$\mathbf{J} = U\nabla U^{-1} = \frac{i}{2}\nabla\phi(\cos\theta^R\tau_1\Sigma_3 + \sin\theta^R\tau_3) - \frac{i}{2}\nabla\theta^R\tau_2\Sigma_3; \quad (150)$$

$$Q' = \tau_1(1 + W + W^2/2 + \dots). \quad (151)$$

Первый и последний член в (11) не связаны со слаболокализационными вкладами. Рассмотрим среди членов в \mathbf{J} только тот, что имеет $\nabla\theta$. В таком случае в члене $Q'\mathbf{J}Q'\mathbf{J}$ в одном Q' берется линейный член, в другом — квадратичный. Непосредственной проверкой можно увидеть, что след по N даст 0.

Единственный оставшийся член это $(Q'\nabla Q' - \nabla Q'Q')\mathbf{J}$. Распишем его, используя антикоммутативность W и τ_1

$$\begin{aligned} \operatorname{str}(Q'\nabla Q' - \nabla Q'Q')\mathbf{J} &= \frac{1}{2} \operatorname{str}(\tau_1 W \tau_1 W \nabla W + \tau_1 W \tau_1 \nabla W W + \tau_1 W^2 \tau_1 \nabla W - \tau_1 \nabla W W \tau_1 W - \\ &\quad - \tau_1 W \nabla W \tau_1 W - \tau_1 \nabla W \tau_1 W^2)\mathbf{J} = -W \nabla W W \mathbf{J}. \end{aligned} \quad (152)$$

Рассмотрим среди членов в \mathbf{J} только тот, что имеет $\nabla\theta$. Тогда, подставляя получившиеся выражение в действие (149), получаем:

$$S_{WL}^{(3)} = -\frac{i\pi\nu D}{8} \int d\mathbf{r} \nabla\theta^R \text{str}[\tau_2 \Sigma_3 W \nabla W W]. \quad (153)$$

Тогда поправка к действию запишется как

$$\delta\rho(E)_1 = \text{Re} \frac{i\pi\nu^2 D}{32} \int d\mathbf{r} \int d\mathbf{r}' \nabla\theta^R(\mathbf{r}') \int D\mathcal{Q}\langle\dots\rangle \exp[-S_E[Q_{zero}]]; \quad (154)$$

$$\langle\dots\rangle = \langle \text{str}[U\tau_3 \tilde{Q}' U^{-1} \tau_1 W(\mathbf{r})] \text{str}[W(\mathbf{r}') \tau_2 \Sigma_3 W(\mathbf{r}') \nabla W(\mathbf{r}')]\rangle. \quad (155)$$

Используя теорему Вика можно вычислить среднее, стоящие в последнем выражении. Среди 3 возможных спариваний слабую локализацию будет давать только одно: нужно спарить $W(\mathbf{r})$ с $\nabla W(\mathbf{r}')$. Слабая локализация возникает от обратных операторов (65) в совпадающих точках. Спаривание же $W(\mathbf{r}')$ с $\nabla W(\mathbf{r}')$ будет выдать производную такого оператора, т.е. величину, не содержащую логарифм (см. Приложение B).

Таким образом, мы можем применить правило слияния (94). Здесь имеем:

$$P_2 = \frac{i}{2}(\tilde{Q}' - \Sigma_3 \tilde{Q}' \Sigma_3) + \frac{i}{2} \sin \theta^R (\tilde{Q}' + \Sigma_3 \tilde{Q}' \Sigma_3) = i\tilde{Q}'_a + i \sin \theta^R \tilde{Q}'_s; \quad (156)$$

$$R_2(\mathbf{r}') = c(\mathbf{r}') \Sigma_3 c(\mathbf{r}') - d(\mathbf{r}') \Sigma_3 d(\mathbf{r}'). \quad (157)$$

Правила (49) дают $\overline{R}_2 = -R_2$. Точно также $\overline{\tilde{Q}'} = -\tilde{Q}'$. Поэтому результат использования (94):

$$\begin{aligned} \langle \text{str}[U\tau_3 \tilde{Q}' U^{-1} \tau_1 W(\mathbf{r})] \text{str}[W(\mathbf{r}') \tau_2 \Sigma_3 W(\mathbf{r}') \nabla W(\mathbf{r}')]\rangle &= \frac{8i}{\pi\nu} [(\nabla_{\mathbf{r}'} A_{ac}^{-1}(\mathbf{r}, \mathbf{r}')) \text{str}_4[\tilde{Q}'_a R_{a2}(\mathbf{r}')] + \\ &+ \sin \theta^R(\mathbf{r})(\nabla_{\mathbf{r}'} A_{sc}^{-1}(\mathbf{r}, \mathbf{r}')) \text{str}_4[\tilde{Q}'_s R_{s2}(\mathbf{r}')]]. \end{aligned} \quad (158)$$

Осталось использовать правила слияния (102) и (104). Как окажется, первый член в последнем выражении усредняется в 0. Поэтому сразу перейдем ко второму. Нужно вычислить среднее

$$\langle \text{str}_4[\tilde{Q}'_s R_{s2}(\mathbf{r}')] \rangle = \frac{1}{2} \langle \text{str}_4[\tilde{Q}'_s c \Sigma_3 c - \tilde{Q}'_s d \Sigma_3 d + \tilde{Q}'_s \Sigma_3 c \Sigma_3 c \Sigma_3 - \tilde{Q}'_s \Sigma_3 d \Sigma_3 d \Sigma_3] \rangle. \quad (159)$$

Для каждого из 4 членов в последнем выражении можем использовать правило слияния (102). 1 и 3, а также 2 и 4 член в этом выражении дадут одинаковый результат. Для первого же члена в (159), такие члены входят с разным знаком, а значит будет 0. Результат использования (102) дает:

$$\langle \text{str}_4[\tilde{Q}'_s R_{s2}(\mathbf{r}')] \rangle = \frac{1}{\pi\nu} [A_{ac}^{-1}(\mathbf{r}', \mathbf{r}') + A_{ad}^{-1}(\mathbf{r}', \mathbf{r}')] \text{str}_4[\tilde{Q}' \Sigma_3]. \quad (160)$$

Таким образом усреднение дает формулу:

$$\frac{8i}{\pi^2\nu^2} \sin \theta^R(\mathbf{r})(\nabla_{\mathbf{r}'} A_{sc}^{-1}(\mathbf{r}, \mathbf{r}')) [A_{ac}^{-1}(\mathbf{r}', \mathbf{r}') + A_{ad}^{-1}(\mathbf{r}', \mathbf{r}')] \text{str}_4 \tilde{\mathcal{Q}}' \Sigma_3. \quad (161)$$

Поправка к плотности состояний запишется как:

$$\delta\rho(E)_1 = -\text{Re} \frac{D}{4\pi} \int d\mathbf{r} \int d\mathbf{r}' \sin \theta^R(\mathbf{r})(\nabla_{\mathbf{r}'} A_{sc}^{-1}(\mathbf{r}, \mathbf{r}')) \nabla \theta^R(\mathbf{r}') [A_{ac}^{-1}(\mathbf{r}', \mathbf{r}') + A_{ad}^{-1}(\mathbf{r}', \mathbf{r}')] \int D\mathcal{Q} \text{str}_4 [\Sigma_3 k \mathcal{Q}] \exp[-S_E[Q_{zero}]]. \quad (162)$$

Рассмотрим пространственный интеграл в выражении для поправки к плотности состояний:

$$\int d\mathbf{r} \int d\mathbf{r}' \sin \theta^R(\mathbf{r})(\nabla_{\mathbf{r}'} A_{sc}^{-1}(\mathbf{r}, \mathbf{r}')) \nabla \theta^R(\mathbf{r}') [A_{ac}^{-1}(\mathbf{r}', \mathbf{r}') + A_{ad}^{-1}(\mathbf{r}', \mathbf{r}')] \quad (163)$$

Выражение $[A_{ac}^{-1}(\mathbf{r}', \mathbf{r}') + A_{ad}^{-1}(\mathbf{r}', \mathbf{r}')] \sin \theta^R(\mathbf{r})$ есть просто $\ln(\xi/l)/\pi D$. Интегрируя по частям, можно написать:

$$\frac{\ln(\xi/l)}{\pi D} \int d\mathbf{r} \int d\mathbf{r}' \sin \theta^R(\mathbf{r}) A_{sc}^{-1}(\mathbf{r}, \mathbf{r}') (-\nabla^2 \theta^R(\mathbf{r}')) = \frac{\ln(\xi/l)}{2\pi\xi^2\Delta_0^2} \int d\mathbf{R}' z(R') (-\nabla^2 \theta^R(R')) = \frac{\ln(\xi/l)}{2\pi\Delta_0^2\xi^2} C_3, \quad (164)$$

где

$$C_3 = \int d\mathbf{R}' z(R') (-\nabla^2 \theta^R(R')). \quad (165)$$

Функция z определена в (139) и вычислена в Приложении А. Прежде чем считать численные коэффициенты, обсудим получившийся ответ. Поправку к плотности состояний можно выразить через среднюю плотность состояний в С классе (44). Итоговый ответ запишется как:

$$\frac{\delta\rho_1}{\langle\rho_C(E)\rangle} = -\frac{C_3 \ln(\xi/l)\omega_0}{\pi^2\Delta_0} = -\frac{2C_3 \ln(\xi/l)}{\pi^2 g C_1}. \quad (166)$$

Как мы видим, это — слабая локализация в чистом виде. Как известно, слабая локализация перенормирует коэффициент диффузии, которой входит в уравнении Узаделя (10) в двух членах: в члене $\nabla^2 \theta^R$ и в члене с $(\nabla\phi)^2$. Мы получили результат, рассматривающий именно $\nabla^2 \theta$.

Посмотрим, как можно учесть вклад от градиента фазы. В самом начале вычислений мы пренебрегли в \mathbf{J} вкладом с фазой. Попробуем ее учесть.

Член подходивший до этого, а именно $Q'\nabla Q' - \nabla Q'Q'$, не будет давать вклада, так как будут появляться члены вида $(\nabla_{\mathbf{r}'} A^{-1}(\mathbf{r}, \mathbf{r}')) \nabla_{\mathbf{r}'} \phi f[\theta]$. Под $A^{-1}(\mathbf{r}, \mathbf{r}')$ подразумевается какой-то из обратных операторов (65), а $f[\theta^R]$ обозначает какую-то функцию только от угла θ^R . Интегрируя такое выражение по частям, мы будем получать 0, так как $\nabla^2 \phi = 0$, $\nabla \theta^R \nabla \phi = 0$, см. (25).

Тогда вновь рассмотрим член $Q' \mathbf{J} Q' \mathbf{J}$ в 3 порядке, оставляя в \mathbf{J} только вклад с $\nabla\phi$. Вклад такого члена в действие запишется как:

$$-\frac{\pi\nu D}{4} \int d\mathbf{r} \text{str}[\tau_1 W \mathbf{J} \tau_1 W^2 \mathbf{J}]. \quad (167)$$

Поправка к плотности состояний будет

$$\delta\rho(E)_2 = \text{Re} \frac{\pi\nu^2 D}{16} \int d\mathbf{r} \int d\mathbf{r}' \int DQ \langle \dots \rangle \exp[-S_E[Q_{zero}]]; \quad (168)$$

$$\langle \dots \rangle = \langle \text{str}[U \tau_3 \tilde{Q}' U^{-1} \tau_1 W(\mathbf{r})] \text{str}[\tau_1 W \mathbf{J} \tau_1 W^2 \mathbf{J}] \rangle. \quad (169)$$

По теореме Вика есть 3 вида спариваний. Начнем со спаривания, где спариваются линейные члены W в разных суперследах. Можем применить правило слияния (94). Здесь имеем:

$$P_2 = i\tilde{Q}'_a + i \sin \theta^R \tilde{Q}'_s; \quad (170)$$

$$R_2(\mathbf{r}') = -\frac{i}{4} (\nabla\phi)^2 \cos \theta^R \sin \theta^R [\Sigma_3 c + \Sigma_3 c^2 + d \Sigma_3 d + \Sigma_3 d^2]. \quad (171)$$

Как мы видим c и d входят в R_2 с одинаковыми знаками. Использование (102) приводит к выражению, не дающего большой логарифм, т.к. будет содержать выражение $A_{ad}^{-1}(\mathbf{r}', \mathbf{r}') - A_{ac}^{-1}(\mathbf{r}', \mathbf{r}')$, в котором этот логарифм сокращается.

Два других спаривания W будут давать одинаковый вклад. Нам нужно спаривать W из пред-экспоненты с одним из квадратичных W в (167). Для это случая R_2 равно

$$R_2(\mathbf{r}') = -\frac{i}{4} (\nabla\phi)^2 \cos \theta^R \sin \theta^R [c \Sigma_3 c + \Sigma_3 c^2 + d \Sigma_3 d - \Sigma_3 d^2]. \quad (172)$$

Используя симметрию $\overline{R_2} = -R_2$, можем написать правило слияния (94):

$$\begin{aligned} \langle \text{str}[U \tau_3 \tilde{Q}' U^{-1} \tau_1 W(\mathbf{r})] \text{str}[\tau_1 W \mathbf{J} \tau_1 W^2 \mathbf{J}] \rangle &= \frac{8i}{\pi\nu} A_{ac}^{-1}(\mathbf{r}, \mathbf{r}') \text{str}_4[\tilde{Q}'_a R_{a2}] + \\ &+ \frac{8i}{\pi\nu} \sin \theta^R(\mathbf{r}) A_{sc}^{-1}(\mathbf{r}, \mathbf{r}') \text{str}_4[\tilde{Q}'_s R_{s2}]. \end{aligned} \quad (173)$$

Далее нужно вычислять $\langle \text{str}_4[\tilde{Q}'_a R_{a2}] \rangle$ и $\langle \text{str}_4[\tilde{Q}'_s R_{s2}] \rangle$. Можем записать для симметричного вклада:

$$\tilde{Q}'_s R_{s2} = \frac{1}{2} \tilde{Q}'_s [c \Sigma_3 c + \Sigma_3 c^2 + d \Sigma_3 d - \Sigma_3 d^2 + \Sigma_3 c \Sigma_3 c + c^2 \Sigma_3 + \Sigma_3 d \Sigma_3 d - d^2 \Sigma_3]. \quad (174)$$

Для каждого из выражение можно применить (102). Итого получится:

$$\langle \text{str}_4[\tilde{Q}'_s R_{s2}] \rangle = \frac{i}{2\pi\nu} (\nabla_{\mathbf{r}'} \phi)^2 \cos \theta^R(\mathbf{r}') \sin \theta^R(\mathbf{r}') A_{ad}^{-1}(\mathbf{r}', \mathbf{r}') \text{str}_4[\tilde{Q}' \Sigma_3]. \quad (175)$$

Антисимметричная часть даст 0. Полный результат усреднения от обоих типов спариваний будет:

$$\frac{8i}{\pi^2\nu^2} \sin \theta^R(\mathbf{r}) A_{sc}^{-1}(\mathbf{r}, \mathbf{r}') (\nabla_{\mathbf{r}'} \phi)^2 \cos \theta^R(\mathbf{r}') \sin \theta^R(\mathbf{r}') A_{ad}^{-1}(\mathbf{r}', \mathbf{r}) \text{str}_3 \Sigma_3 k \mathcal{Q}. \quad (176)$$

Здесь $A_{ad}^{-1}(\mathbf{r}', \mathbf{r}')$, как обычно, это $\ln(\xi/l)/(2\pi)$.

Дальнейший расчет абсолютно аналогичен тому, что был проведен выше для поправки $\delta\rho(E)_1$.

В итоге приходим к выражению:

$$\frac{\delta\rho_2}{\langle\rho_C(E)\rangle} = -\frac{C_4 \ln(\xi/l)\omega_0}{\pi^2\Delta_0} = -\frac{2C_4 \ln(\xi/l)}{\pi^2 g C_1}, \quad (177)$$

где безразмерный коэффициент C_4 определяется как:

$$\int d\mathbf{R}' z(R') ((\nabla_{\mathbf{R}} \phi)^2 \sin \theta^R(R) \cos \theta^R(R)), \quad (178)$$

где, как уже было сказано выше, z определена в (139) а ее вычисление можно найти в Приложении

A. Комбинируя поправки слабой локализации, мы приходим к ответу:

$$\frac{\delta\rho_{WL}}{\langle\rho_C(E)\rangle} = -\frac{(C_3 + C_4) \ln(\xi/l)\omega_0}{\pi^2\Delta_0} = -\frac{2C \ln(\xi/l)}{\pi^2 g C_1}, \quad (179)$$

где

$$C = \int d\mathbf{R}' z(R') (-\nabla_R^2 \theta^R + (\nabla_{\mathbf{R}} \phi)^2 \sin \theta^R(R) \cos \theta^R(R)) = \int d\mathbf{R}' z(R') \left(\frac{\Delta(R)}{\Delta_0} \cos \theta^R(R) \right). \quad (180)$$

Последнее равенство было написано, так как спектральный угол θ^R решает уравнение Узаделя на нулевой энергии (24). Численный коэффициент в последнем выражении равен

$$C = 4.262. \quad (181)$$

Подставляя этот коэффициент в поправку (179), приходим к финальной формуле:

$$\frac{\delta\rho_{WL}}{\langle\rho_C(E)\rangle} = -0.087 \frac{\ln(\xi/l)}{g}. \quad (182)$$

Этот результат не случаен. Как известно слабая локализация перенормирует коэффициент диффузии D уже на нулевой энергии. Посмотрим, как это влияет на плотность состояний в рамках уравнения Узаделя (10) на нулевой энергии. Будем считать изменения коэффициента диффузии δD малым. В первом порядке теории возмущений поправка к спектральному углу за счет изменения коэффициента диффузии будет даваться уравнением

$$(-D_0 \nabla^2 + D_0 (\nabla \phi)^2 \cos 2\theta^R + 2\Delta \sin \theta^R) \delta\theta^R = \frac{\delta D}{D_0} (-D_0 \theta^R \nabla^2 + D_0 (\nabla \phi)^2 \sin \theta^R \cos \theta^R). \quad (183)$$

Это уравнение можно переписать как:

$$A_{sc}\delta\theta^R = \frac{\delta D}{D_0}(2\Delta(r)\cos\theta^R). \quad (184)$$

Мы можем решить это уравнение формальным образом. Его решение будет даваться выражением

$$\delta\theta^R(r) = \frac{\delta D}{D_0} \int d\mathbf{r}' A_{sc}^{-1}(\mathbf{r}, \mathbf{r}') (2\Delta(r')\cos\theta^R(r')). \quad (185)$$

Глобальная плотность состояний дается интегралом формулы (5). Таким образом, для поправки к плотности состояний имеем

$$\delta\rho = -2\nu \frac{\delta D}{D_0} \int d\mathbf{r} \int d\mathbf{r}' \sin\theta^R(r) A_{sc}^{-1}(\mathbf{r}, \mathbf{r}') (2\Delta(r')\cos\theta^R(r')). \quad (186)$$

Интегрируя формально по \mathbf{r} и делая замену переменных $R = r/\xi$, приходим к результату для отношения поправки плотности состояний к плотности состояний на нулевой энергии (26):

$$\omega_0\delta\rho = -2 \frac{C}{C_1} \frac{\delta D}{D_0} \quad (187)$$

Обычно изменение $\delta D/D_0$ есть $-\ln(\xi/l)/\pi^2g$. Подставляя это в последнее выражение, получается что это выражение в точности совпадает с ранее полученной формулой (179).

5.6 Поправка слабой локализации в действии S_E

С тем же успехом, что и в разделе 5.5, мы могли бы спаривать нелинейное действие (149) с W из разложения S_E , спущенного в предэкспоненту. Повторение вычислений не нужно, потому что, ровно так же, как было сказано в разделе 5.2, это вычисление просто дает результат:

$$\delta\rho = -\frac{2C \ln(\xi/l)}{\pi^2gC_1} E \frac{d}{dE} \langle \rho(E) \rangle, \quad (188)$$

делая общую поправку слабой локализации равной

$$\delta\rho_{WL} = -\frac{2C \ln(\xi/l)}{\pi^2gC_1} \left(1 + E \frac{d}{dE} \right) \langle \rho_C(E) \rangle = -\frac{4C \ln(\xi/l)}{\pi^2C_1g\omega_0} \sin^2[\pi E/\omega_0]. \quad (189)$$

6 Перенормировка ω_0

Рассмотрим сумму всех шести вкладов, найденных выше. Суммируя (127), (148) и (189), мы приходим к следующему выражению:

$$\delta\langle\rho(E)\rangle = \frac{1}{g} \left[\frac{2C_2}{\pi C_1} - \frac{4C_0}{\pi C_1^2} - \frac{4C \ln(\xi/l)}{\pi^2 C_1} \right] \frac{\sin^2 \pi E/\omega_0}{\omega_0}. \quad (190)$$

Фактически это выражение свидетельствует о перенормировке затравочной плотности состояний $\rho_0 = 1/\omega_0$. Действительно, пусть такая перенормировка имеет место быть: $\rho_0 \rightarrow \rho_0 + \delta\rho$. Тогда она должна согласованно приводить как к изменению абсолютной величины $\rho_C(E)$, так и изменению периода осцилляций. Изменение плотности состояний в этом случае будет равняться:

$$\delta\langle\rho(E)\rangle = \delta\rho \frac{d}{d\rho_0} \langle\rho(E)\rangle = \frac{\delta\rho}{\rho_0} 2 \sin^2 \pi E/\omega_0 \quad (191)$$

что полностью совпадает со структурой уравнения (190). Таким образом, мы приходим к выводу, что затравочная плотность состояний ρ_0 перенормируется согласно

$$\rho_0 \rightarrow \tilde{\rho}_0 = \frac{1}{\tilde{\omega}_0} = \rho_0 \left\{ 1 - \frac{1}{g} \left[\frac{2C \ln(\xi/l)}{\pi^2 C_1} + \frac{2C_0}{\pi C_1^2} - \frac{C_2}{\pi C_1} \right] \right\}. \quad (192)$$

Главный вклад в подавление ρ_0 и, соответственно, рост ω_0 дает слабая локализация, что происходит за счет уменьшения коэффициента диффузии, а следовательно, и размера кора.

Итак, все рассмотренные эффекты учитываются заменой $\omega_0 \rightarrow \tilde{\omega}_0$. После этого ответ для средней плотности состояний дается стандартной нульмерной формулой (44) с перенормированной $\tilde{\omega}_0$.

7 Заключение

Мы исследовали среднюю плотность состояний, локализованных в коре сверхпроводящего вихря в грязных сверхпроводящих пленках с безразмерным кондактансом $g \gg 1$. В пределе $g \rightarrow \infty$ она описывается нульмерным выражением, отвечающим случайным матрицам симметричного класса С. В этом случае ответ является универсальным, поскольку определяется только симметрией системы.

Для того, чтобы найти поправки к нульмерному ответу исследована структура высших пространственных мод (купероны и диффузоны) на фоне вихревого решения. Выведены соответствующие правила слияния. Произведен пертурбативный учет вклада высших мод в среднюю плотность состояний, при этом нулевая мода учитывается точно.

В однопетлевом приближении по массивным модам имеются шесть различных диаграмм для плотности состояний, которые естественным образом комбинируются в три пары. В каждой паре вклады в $\langle \delta\rho(E) \rangle$ согласованным образом описывают как изменение абсолютной величины плотности состояний, так и изменение периода фриделевских осцилляций.

Таким образом, весь эффект флуктуаций в одной петле сводится к перенормировке средней затравочной плотности состояний ρ_0 или, что эквивалентно, среднего расстояния между уровнями $\omega_0 = 1/\rho_0$. Основной вклад в перенормировку дает слабая локализация, уменьшающая D , а вместе с ним и размер кора $\xi = \sqrt{D/2\Delta_0}$.

Модификации универсального нульмерного ответа в духе поправок Кравцова-Мирлина [6] нами не обнаружено. По всей видимости, она возникает в двух петлях, как и для стандартных вигнер-дайсоновских ансамблей.

Список литературы

- [1] A. Altland и M. R. Zirnbauer. «Nonstandard symmetry classes in mesoscopic normal-superconducting hybrid structures». В: *Physical Review B* 55 (1997), с. 1142.
- [2] R. Bundschuh, C. Cassanello, D. Serban и M.R. Zirnbauer. «Localization of quasiparticles in a disordered vortex». В: *Nuclear Physics B* 532 (1998), с. 689.
- [3] C. Caroli, P.G. De Gennes и J. Matricon. «Bound fermion states on a vortex line in a type II superconductor». В: *Physics Letters* 9 (1964), с. 307.
- [4] K. Efetov. *Supersymmetry in Disorder and Chaos*. Cambridge University Press, 1996.
- [5] A. A. Koulakov и A. I. Larkin. «Vortex density of states and absorption in clean layered superconductors». В: *Phys. Rev. B* 60 (1999), с. 14597.
- [6] V. E. Kravtsov и A. D. Mirlin. «Level statistics in a metallic sample: corrections to the Wigner - Dyson distribution». В: *Письма в ЖЭТФ* 60 (1994), с. 645.
- [7] R.J. Watts-Tobin и G.M. Waterworth. «Calculation of the vortex structure in a superconducting alloy». В: *Zeitschrift für Physik A Hadrons and nuclei* 261 (1973), с. 249.
- [8] М.А Скворцов. *диссертация на соискание ученой степени кандидата физико-математических наук. Тема: «Статистика уровней и локализация в двумерных системах с киральным электронным спектром»*. Черноголовка, 1998.

А Вычисление C_0

$$C_0 = \int d\mathbf{R}[z(R) \sin \theta^R - y(R)]. \quad (\text{A.1})$$

В первую очередь целесообразно в принципе проверить конечность коэффициента C_0 .

Рассмотрим интеграл (138) на больших расстояниях, так как на малых функции z и y гарантированно конечны. На больших расстояниях ($R \gg 1$) θ^R экспоненциально близко к $\pi/2$ [2].

$$\theta^R \approx \frac{\pi}{2} - be^{-R}, \quad b = \frac{\text{const}}{\sqrt{R}}. \quad (\text{A.2})$$

Параметр порядка Δ же вблизи своего максимального значения Δ_0 раскладывается по степеням $\frac{1}{R}$. Имея это запишем

$$\left(\frac{\Delta(R \gg 1)}{\Delta_0} - \frac{1}{R^2} + a_1(R)e^{-R}\right)z(R \gg 1) = \frac{1}{2} + a_2(R)e^{-R}; \quad (\text{A.3})$$

$$\left(\frac{\Delta(R \gg 1)}{\Delta_0} - \frac{1}{R^2} + b_1(R)e^{-R}\right)y(R \gg 1) = \frac{1}{2} + b_2(R)e^{-R}, \quad (\text{A.4})$$

где функции a_1, a_2, b_1, b_2 - степенные. Подставляя (A.3) в (138), имеем, что все степенные члены сокращаются. Остаются только экспоненциально малые:

$$C_0 \sim \int d\mathbf{R}C(R)e^{-R}. \quad (\text{A.5})$$

Таким образом, коэффициент C_0 конечен.

Перейдем к вычислению C_0 . Как было сказано ранее, граничные условия для z — это

$$z(0) = 0 \quad z(\infty) = \frac{1}{2} \quad z(R \ll 1) = \text{const } R. \quad (\text{A.6})$$

Так же как и уравнение (24), уравнение (139) неустойчивое, т.е. при отклонении от правильного наклона решение уходит на $\pm\infty$. Поэтому его удобно решать методом стрельбы.

Оператор A_{ac} (65) имеет нулевую моду $\cos \theta^R$. Как отмечалось в главе (4), такая нулевая мода должна быть исключена из рассмотрения. Для этого спроектируем уравнение (140) на пространство собственных векторов без одного, который соответствует нулевой моде:

$$A_{ac}(\mathbf{R})y(R) = \frac{1}{2} - \frac{1}{2} \frac{\int d\mathbf{R} \cos \theta^R(R)}{\int d\mathbf{R} \cos^2 \theta^R(R)} \cos \theta^R = \frac{1}{2} - \frac{2.6371}{2} \cos \theta^R. \quad (\text{A.7})$$

Оператор A_{ac} несингулярен, поэтому граничными условиями для y являются

$$y'(0) = 0 \quad y(\infty) = \frac{1}{2}. \quad (\text{A.8})$$

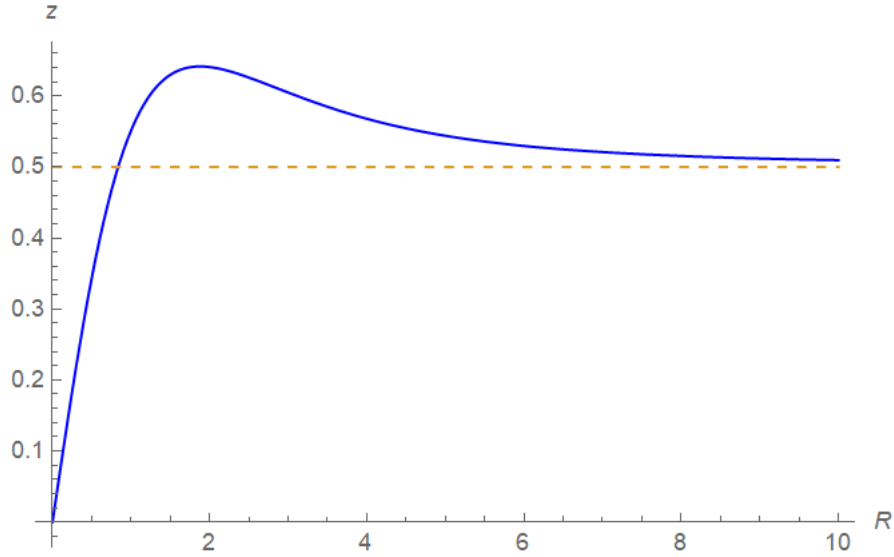


Рис. 2: Решение уравнения (139)

Решение этого уравнения имеют сложность, связанную с его неустойчивостью. Функция θ^R , а также коэффициент $\int d\mathbf{R} \cos \theta^R(R) / \int d\mathbf{R} \cos^2 \theta^R(R)$ известны лишь приближенно, поэтому решение этого уравнения не будет выходить на правильную асимптотику. Чтобы решить эту проблему удобно ввести дополнительный параметр s , близкий к 1. Уравнение с этим параметром запишется как

$$A_{ac}(\mathbf{R})y(R) = \frac{1}{2} - s \frac{2.6371}{2} \cos \theta^R : \quad (\text{A.9})$$

Функция $y(R)$ задается на пространстве собственных векторов A_{ac} без нулевой моды, поэтому y ортогональна нулевой моде.

Параметр $y(0)$ отрицателен и подбирается методом стрельбы так, чтобы перекрытие решения y с нулевой модой $\cos \theta^R$ было нулевым. Затем, варьируя s с точностью выше чем вычисляется коэффициент $\int d\mathbf{R} \cos \theta^R(R) / \int d\mathbf{R} \cos^2 \theta^R(R)$, ищется оптимальное положение решения.

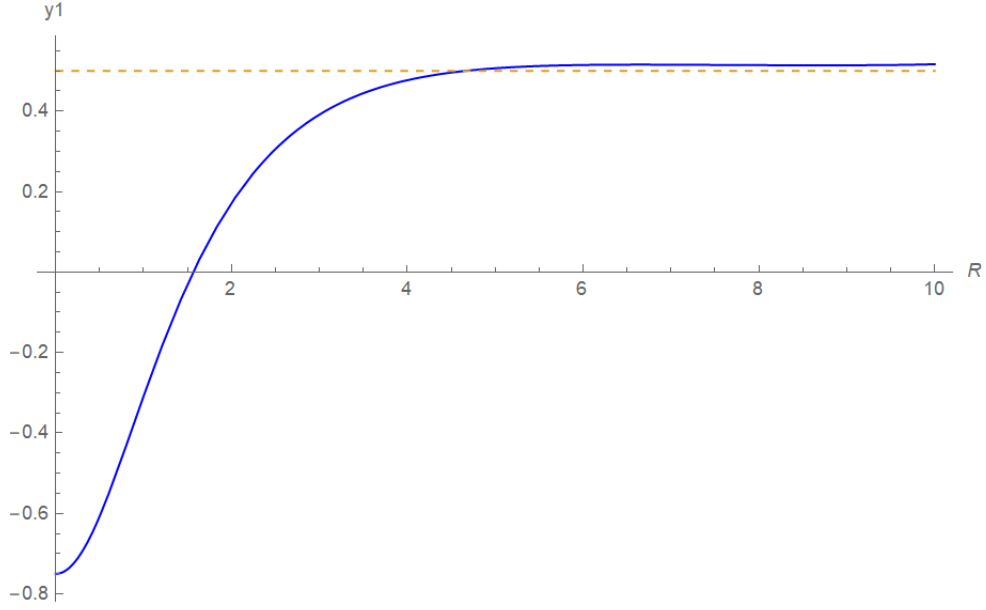


Рис. 3: Решение уравнения (A.9)

Важно отметить, что асимптотики (A.3) подходят к $1/2$ сверху, что и можно увидеть на графиках (3),(2).

Подставляя найденные функции y и z в (138), получаем значение коэффициента C_0 :

$$C_0 \approx 19.2. \quad (\text{A.10})$$

В Структура обратных операторов A_{ac}^{-1} и A_{ad}^{-1} . Вычисление C_2

$$C_2 = \int d\mathbf{R} \cos \theta^R(R) (A_{ad}^{-1}(\mathbf{R}, \mathbf{R}) - A_{ac}^{-1}(\mathbf{R}, \mathbf{R})) \quad (\text{B.1})$$

Интеграл в (114) сходится на расстояниях порядка размера кора ξ , поэтому он конечен. Перейдем к рассмотрению стоящих в нем слагаемых.

В этом интеграле присутствуют обратные операторы в совпадающих точках. Рассмотрим сначала поведение операторов на больших расстояниях. Пользуясь (65) можем написать как выглядят операторы после замены переменных.

$$A_{ac}(\mathbf{R}) = -\nabla_R^2 + \frac{\Delta}{\Delta_0} \sin \theta^R - [(\nabla_R \theta^R)^2 + \frac{\sin^2 \theta^R}{R^2}]; \quad (\text{B.2})$$

$$A_{ad}(\mathbf{R}) = -\nabla_R^2 + \frac{\Delta}{\Delta_0} \sin \theta^R. \quad (\text{B.3})$$

На больших расстояниях оба эти операторы выглядят как $-\nabla^2 + 1$. Функция гриня такого оператора равна $K_0(R-R')/2\pi$ и она расходится в совпадающих точках. Тем не менее нужно просто

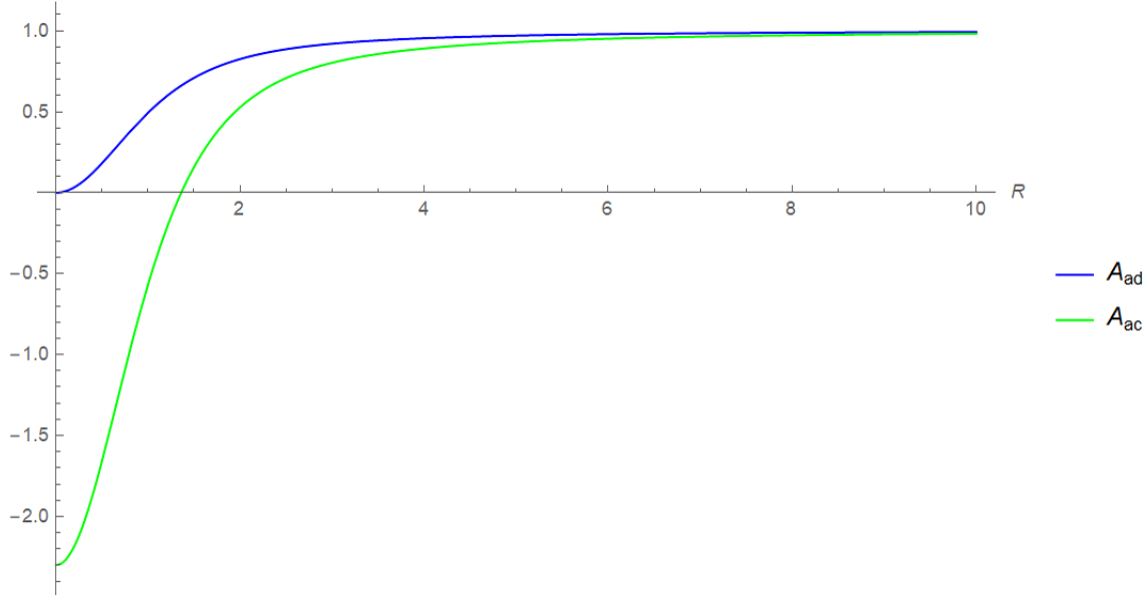


Рис. 4: Потенциальные части операторов A_{ac} и A_{ad}

обрезать на длине свободного пробега. В результате получается $\ln \frac{\xi}{l}/2\pi$. Здесь мы учитываем, что нулевая мода A_{ac} исключена, поэтому этот оператор можно спокойно обращать.

Обратим численно операторы A_{ac} и A_{ad} , не забывая исключить из оператора A_{ac} нулевую моду $A_{ac} - \frac{|0\rangle\langle 0|}{\epsilon_0}$. $|0\rangle$ - собственная функция, соответствующая наименьшему собственному значению ϵ_0 . Отметим, что из-за численного счета ϵ_0 не равно тождественно нулю.

Как видно на рисунке (5), обратные операторы на расстояниях $R \gtrsim 1$ совпадают с $\ln \frac{\xi}{l}/2\pi$. На меньших расстояниях они слабо отличаются от $\ln \frac{\xi}{l}/2\pi$. Поэтому можно написать обратные операторы в следующем виде

$$(A_{ac})^{-1} = \ln \frac{\xi}{l}/2\pi + f_c(R), \quad (A_{ad})^{-1} = \ln \frac{\xi}{l}/2\pi + f_d(R), \quad (\text{B.4})$$

где функции f_c, f_d на малых по сравнению с размером кора расстояниях отличаются от $\ln \frac{\xi}{l}/2\pi$ на величины порядка единицы. На больших расстояниях обе функции стремятся к $\ln \frac{\xi}{l}/2\pi$. В связи с этим (114) можно записать как

$$C_2 = \int d\mathbf{R} \cos \theta^R(R) (f_d(R) - f_c(R)) \quad (\text{B.5})$$

Если бы разница функций была равна единице, то получилось бы C_1 . Запишем C_2 как

$$C_2 = aC_1, \quad (\text{B.6})$$

где a порядка единицы.

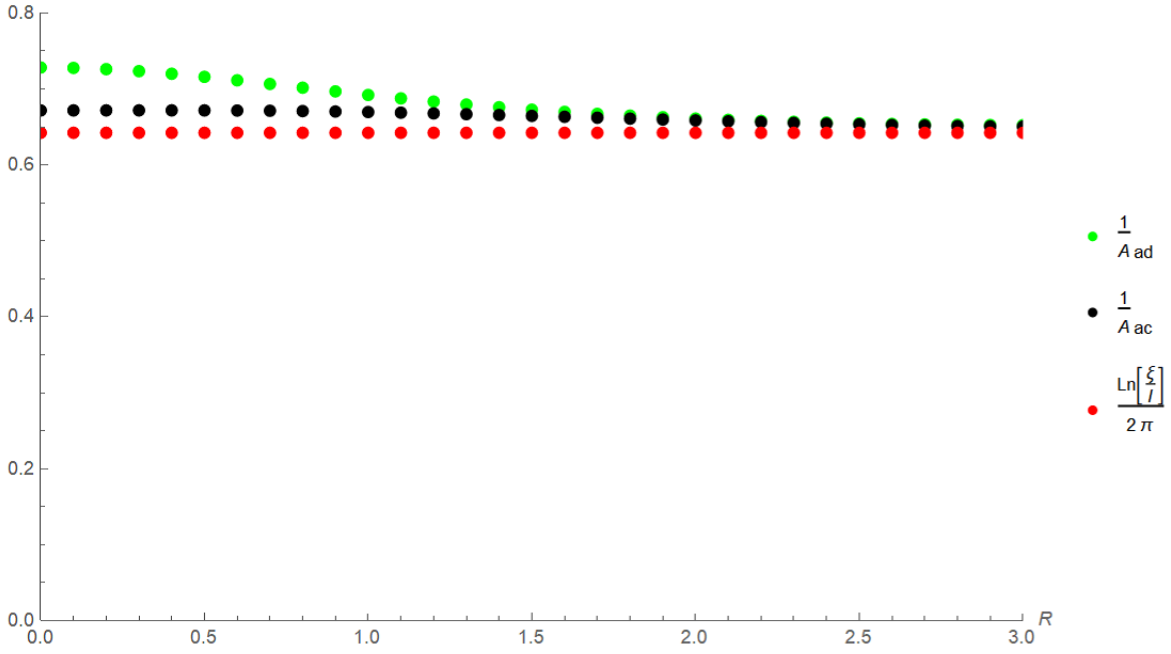


Рис. 5: Численное обращение операторов A_{ac} , A_{ad} сравнивается с обращением $-\nabla^2 + 1$ в совпадающих точках ($=\ln \frac{\xi}{l}/2\pi$)

Попробуем посчитать коэффициент C_2 . Обращение операторов будем вести на сетке 71×71 ($n = 35$) с шагом $h = 0.1$. Для таких параметров обратные операторы будут определены вплоть до $R = hn = 3.5$. Численное интегрирование C_1 на отрезке $[0, 3.5]$ дает $\int d\mathbf{R} \cos \theta^R \approx 8.70948$. Интегрирование же по n точкам сетки методом трапеции дает результат ≈ 8.70358 . Видно, что результаты очень близки, с относительной разницей 0.068% .

Вычислим C_2 методом трапеций. В результате получается $C_2 \approx 0.11177$.

Таким образом, для коэффициента a имеем:

$$a = \frac{C_2}{C_1} \approx \frac{0.11177}{8.70358} \approx 0.013. \quad (\text{B.7})$$